

Autor(en): **[s.n.]**

Objektyp: **Appendix**

Zeitschrift: **Eclogae Geologicae Helvetiae**

Band (Jahr): **29 (1936)**

PDF erstellt am: **15.09.2024**

Nutzungsbedingungen

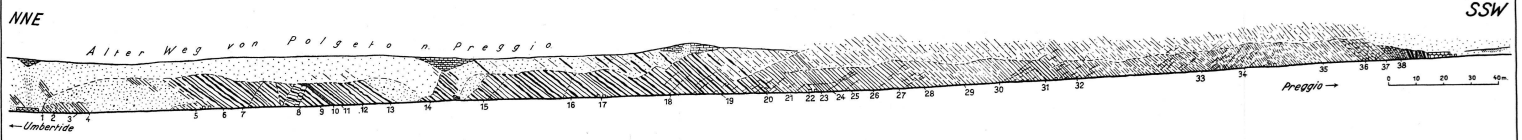
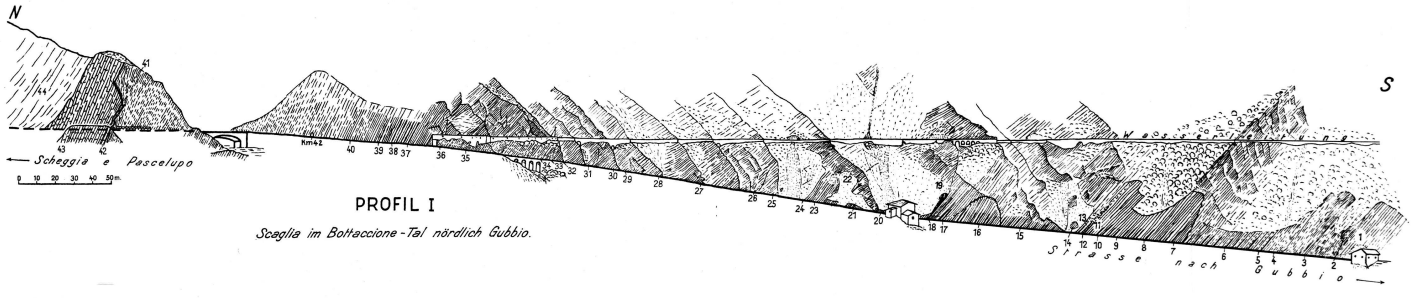
Die ETH-Bibliothek ist Anbieterin der digitalisierten Zeitschriften. Sie besitzt keine Urheberrechte an den Inhalten der Zeitschriften. Die Rechte liegen in der Regel bei den Herausgebern.

Die auf der Plattform e-periodica veröffentlichten Dokumente stehen für nicht-kommerzielle Zwecke in Lehre und Forschung sowie für die private Nutzung frei zur Verfügung. Einzelne Dateien oder Ausdrucke aus diesem Angebot können zusammen mit diesen Nutzungsbedingungen und den korrekten Herkunftsbezeichnungen weitergegeben werden.

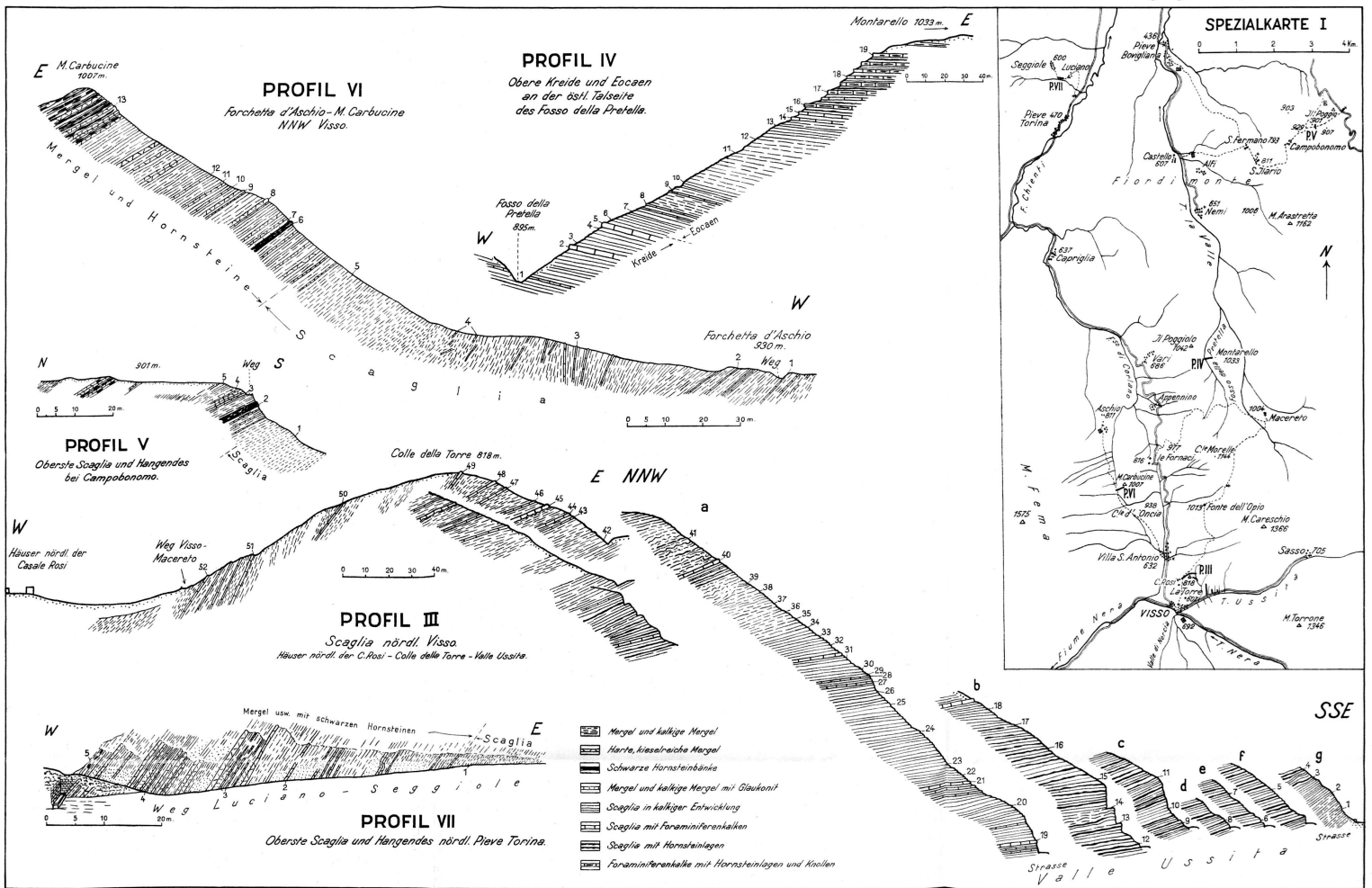
Das Veröffentlichen von Bildern in Print- und Online-Publikationen ist nur mit vorheriger Genehmigung der Rechteinhaber erlaubt. Die systematische Speicherung von Teilen des elektronischen Angebots auf anderen Servern bedarf ebenfalls des schriftlichen Einverständnisses der Rechteinhaber.

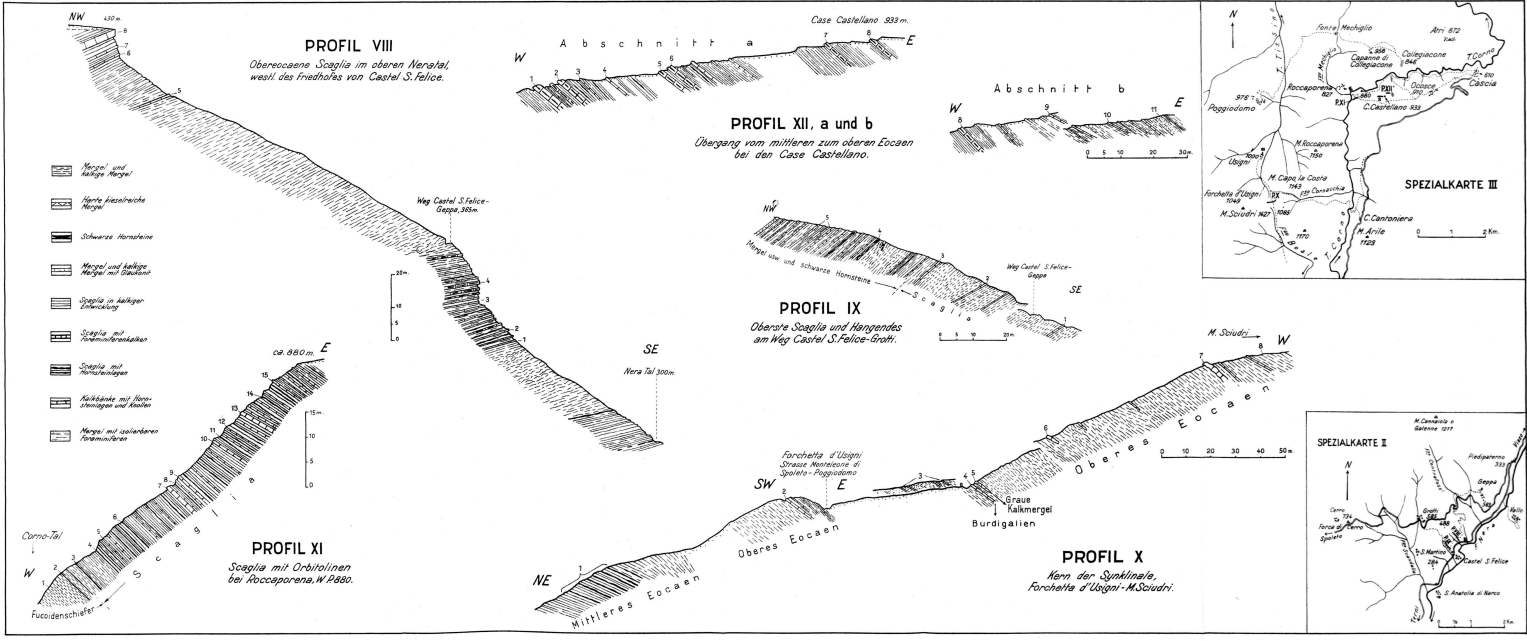
Haftungsausschluss

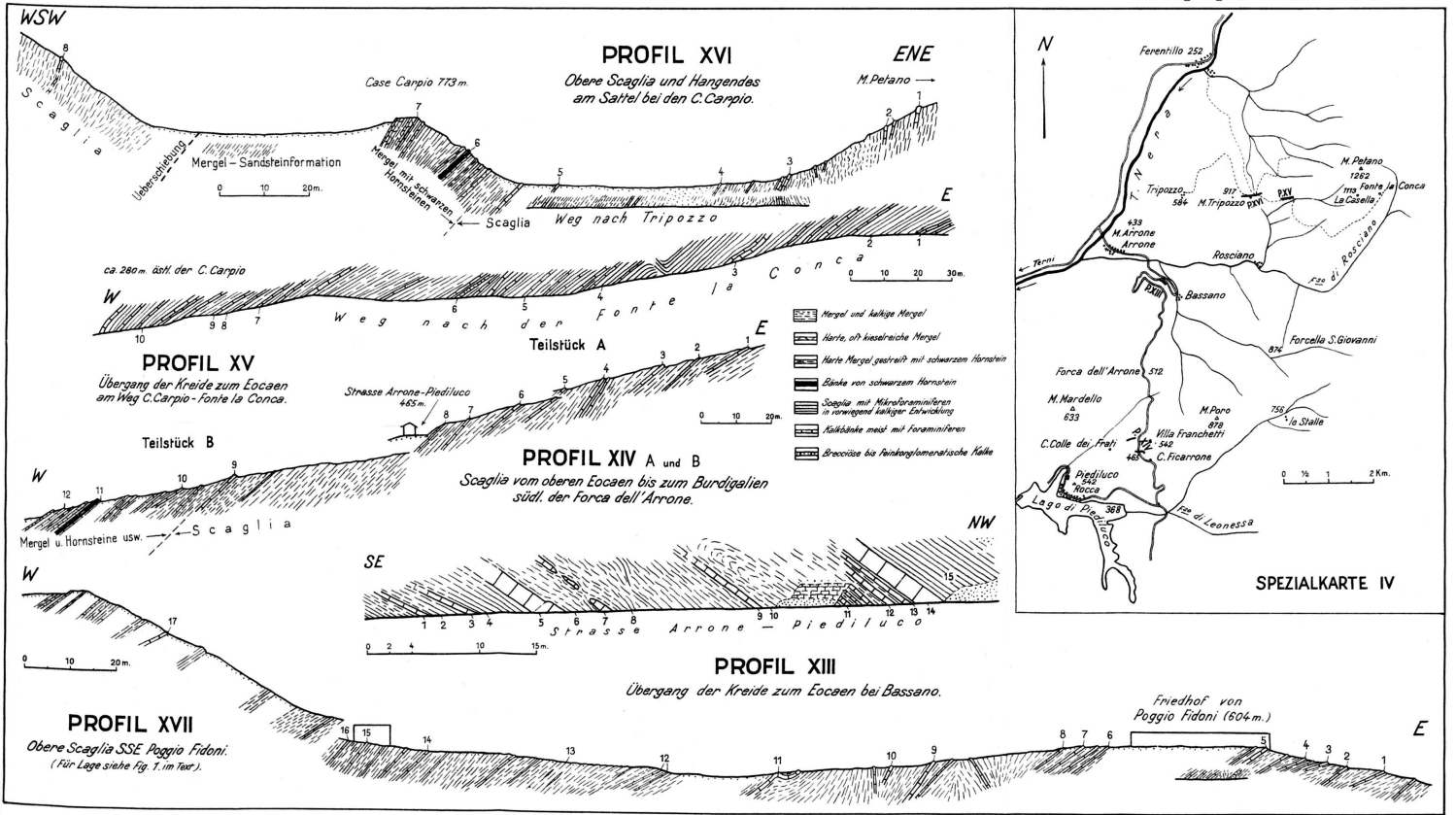
Alle Angaben erfolgen ohne Gewähr für Vollständigkeit oder Richtigkeit. Es wird keine Haftung übernommen für Schäden durch die Verwendung von Informationen aus diesem Online-Angebot oder durch das Fehlen von Informationen. Dies gilt auch für Inhalte Dritter, die über dieses Angebot zugänglich sind.

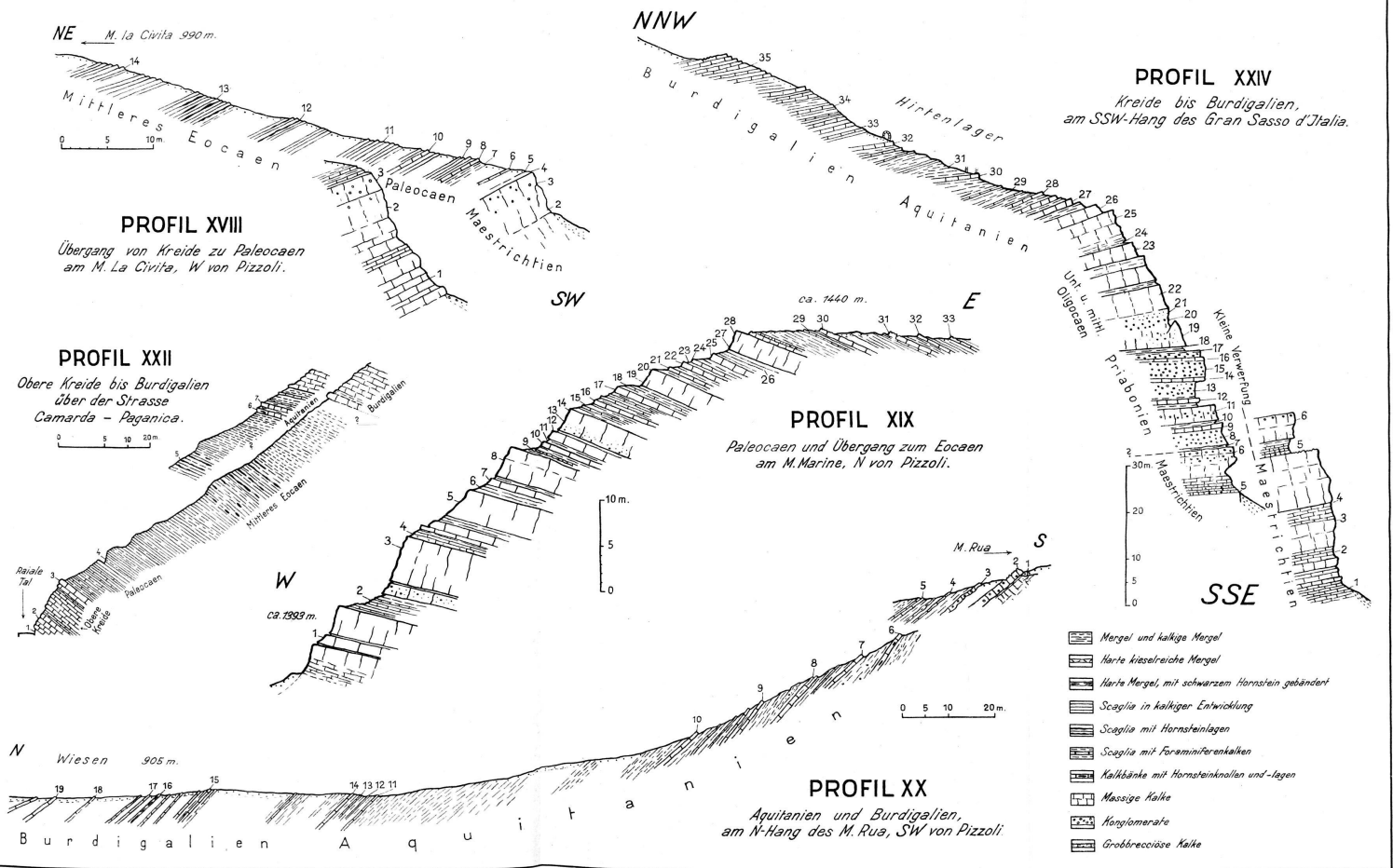


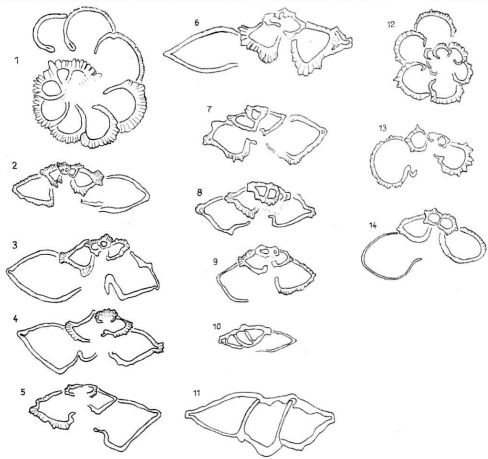
- | | | | |
|--|--------------------------------|--|---|
| | gelblich bis schluffige Mergel | | Scaglia mit Mikrofossiliferen
in vorwiegend schluffiger Einwirkung |
| | Mergel mit kalkreichen Nodulen | | Scaglia mit Hornsteinlagen |
| | Bänke von schwarzem Hornstein | | Glaukonitige Mergel und Kalksand |



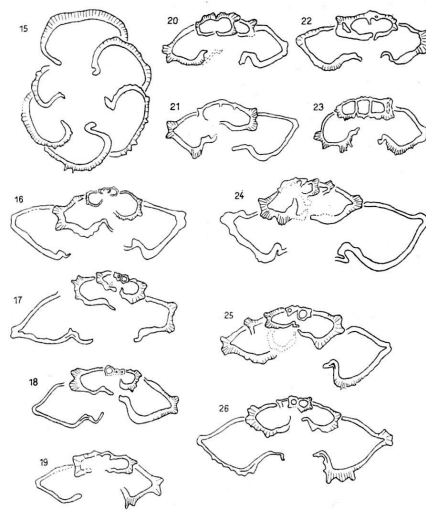




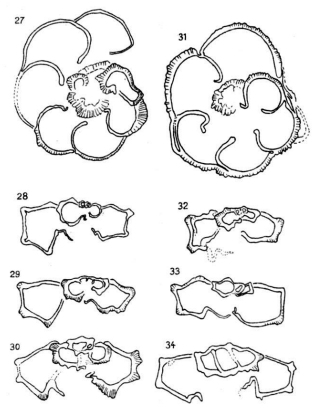




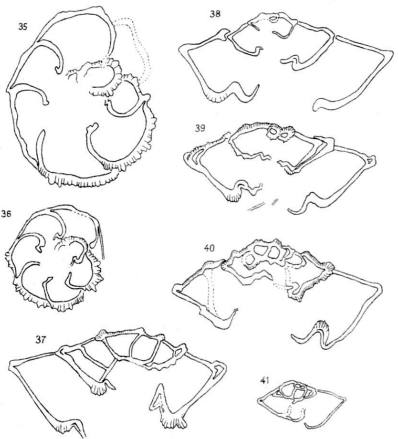
Globotruncana appenninica n. sp. 1-11, begleitende Globigeriniden 12-14



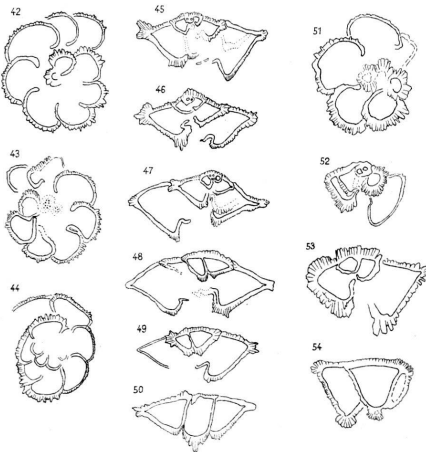
Zwischenform *G. appenninica* - *G. linnei*



Globotruncana linnei D'ORB.



Globotruncana stuarti DE LAPP.



Globoboliten: paleocene Form 42-50, eocene Form 51-54

ERKLÄRUNG

- Fig. 1: Prof. I (Gubbio), Schicht 5.
- 2-3: - I, - 6.
- 4: Ob. Villa del Furla im Melauroraf.
- 5: Prof. II (M. Acuto), Schicht 6.
- 6: - I, Schicht 6.
- Fig. 15: Prof. II, Schicht 15.
- 16: - III, (Vasso), Schicht 11.
- 17: - III, - 10.
- 18-20: - II, Schicht 12.
- 21: - I, - 13.
- Fig. 27: Prof. Fossombrone, Sc. m. *G. linnei* u. *stuarti*.
- 28: - I, Schicht 17.
- 29: - I, - 19.
- 30: - I, - 26.
- Fig. 35: Prof. III, Schicht 29.
- 36: - II, zwischen Schichten 24 u. 25.
- 37: - Fossombrone, Sc. mit *G. linnei* u. *stuarti*.
- 38: - II, Schicht 24.
- Fig. 42: Prof. Fossombrone, Sc. m. *G. linnei* u. *stuarti*.
- 43: - XVIII (M. La Civita), Schicht 9.
- 44: - III, Schicht 30.
- 45: - I, - 36.
- 46: - XIII (Strasse Arrone-Piediluco) Sch. 13.
- 47: E-Hang des S. Fuggiale.
- 48: Prof. Fossombrone.
- Fig. 7-8: Prof. II, Schicht 3.
- 9: - I, - 5.
- 10: - I, - 6.
- 11: - II, - 6.
- 12-14: - I, - 6.
- Fig. 22: Prof. II, Schicht 12.
- 23: - I, - 13.
- 24: - I, - 15.
- 25: - II, - 12.
- 26: - I, - 13.
- Fig. 31: Prof. Fossombrone, Sc. m. *G. linnei* u. *stuarti*.
- 32: - I, Schicht 19.
- 33: - II, - 21.
- 34: - I, - 21.
- Fig. 39: Prof. Fossombrone, Sc. m. *G. linnei* u. *stuarti*.
- 40: - II, Schicht 21.
- 41: - II, zwischen Schichten 24 u. 25.
- Fig. 49: Prof. XIII, Schicht 15.
- 50: - I, - 34.
- 51: - I, - 38.
- 52: - X, (Forchetta d'Usignè) Schichten I.
- 53: - I, Schicht 37.
- 54: Penne di Chiusita.



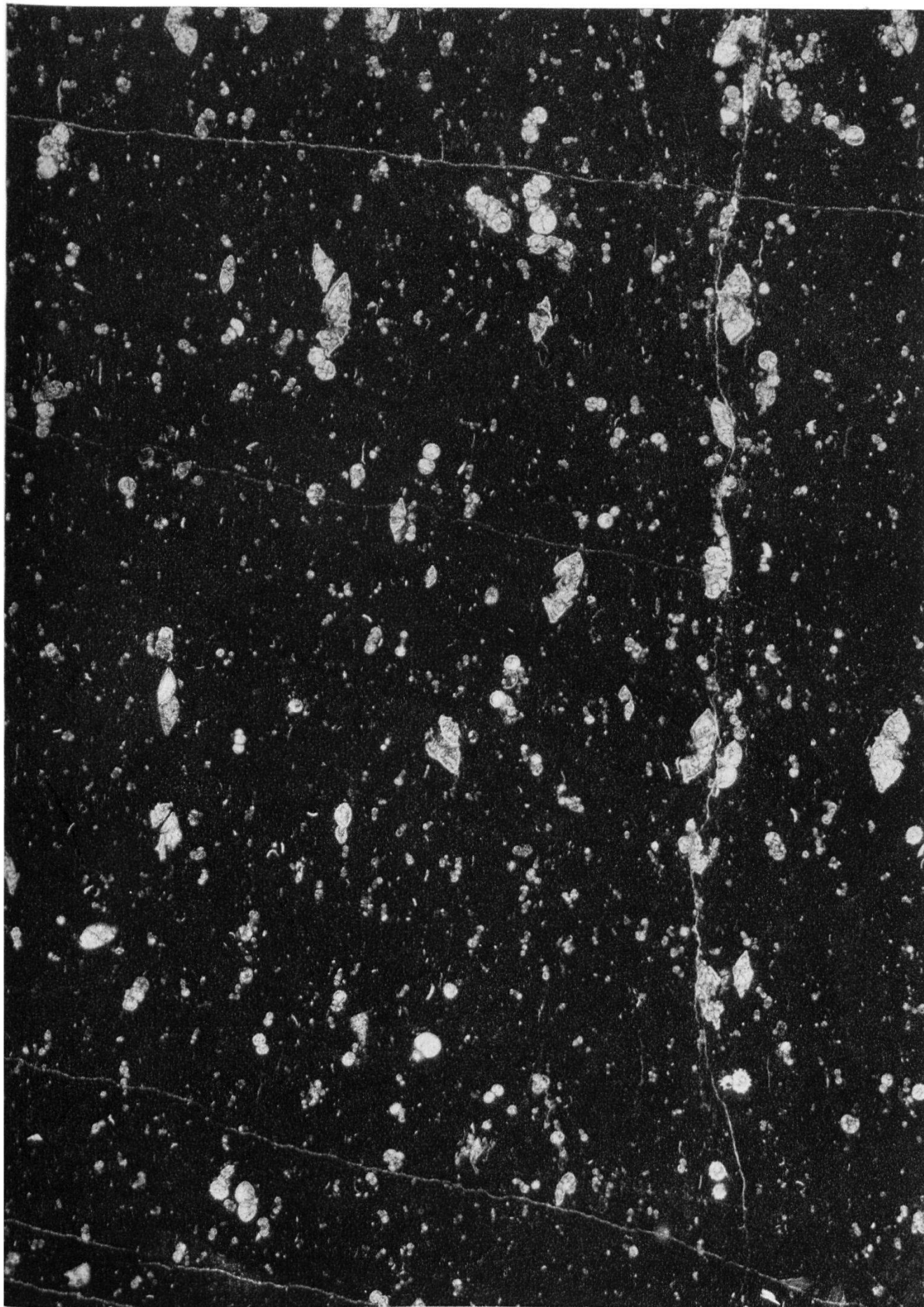


Fig. 1. Scaglia mit *Globotruncana appenninica* n. sp. = Zone 1a'.

Prof. I (Gubbio), Schicht 6 (s. S. 13 u. Tafel I). 21 ×.

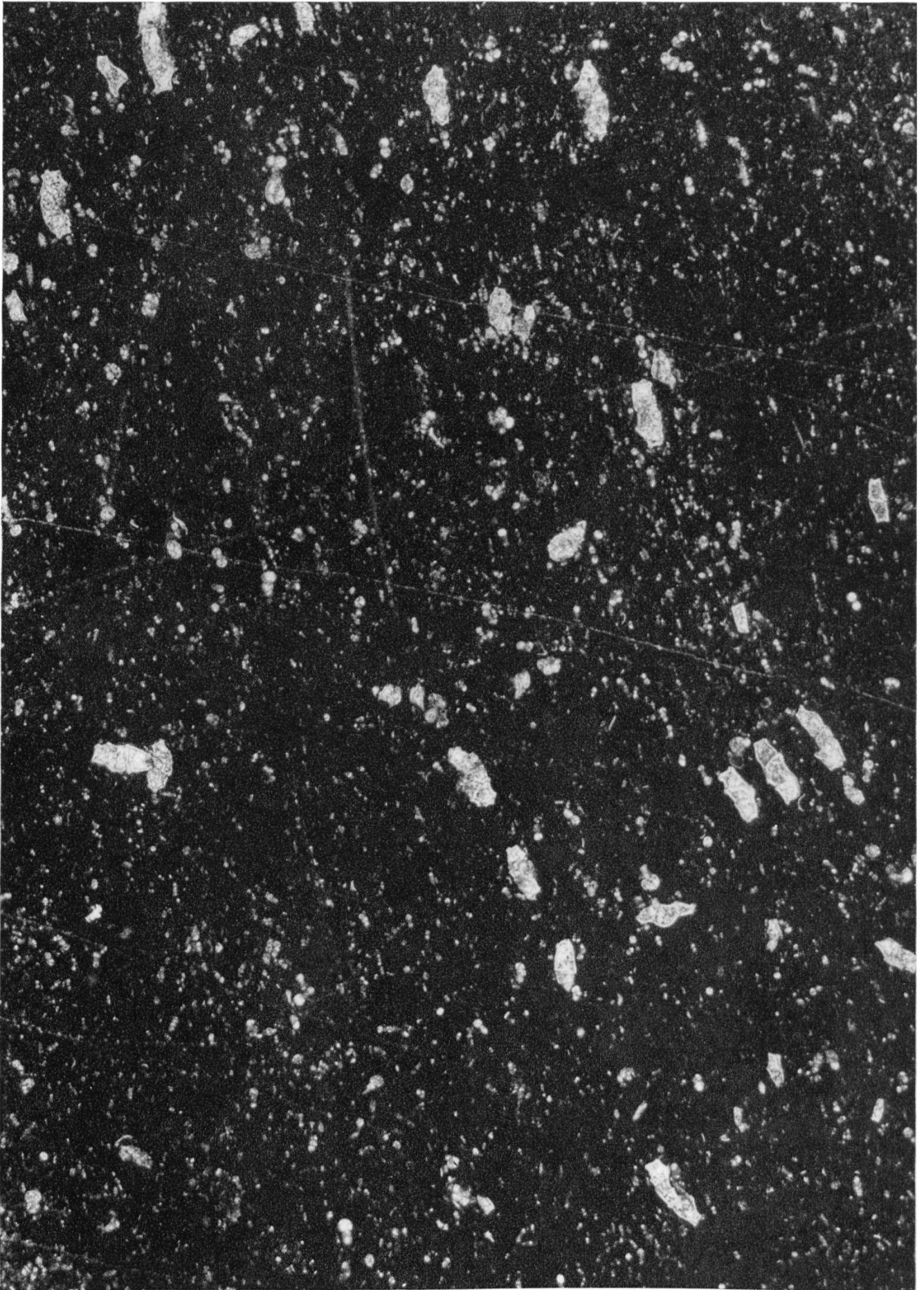


Fig. 2. Scaglia mit *Globotruncana linnei* (D'ORB) = Zone 1a".
Prof. II (M. Acuto), Schicht 18 (s. S. 34 u. Tafel I). 21 ×.

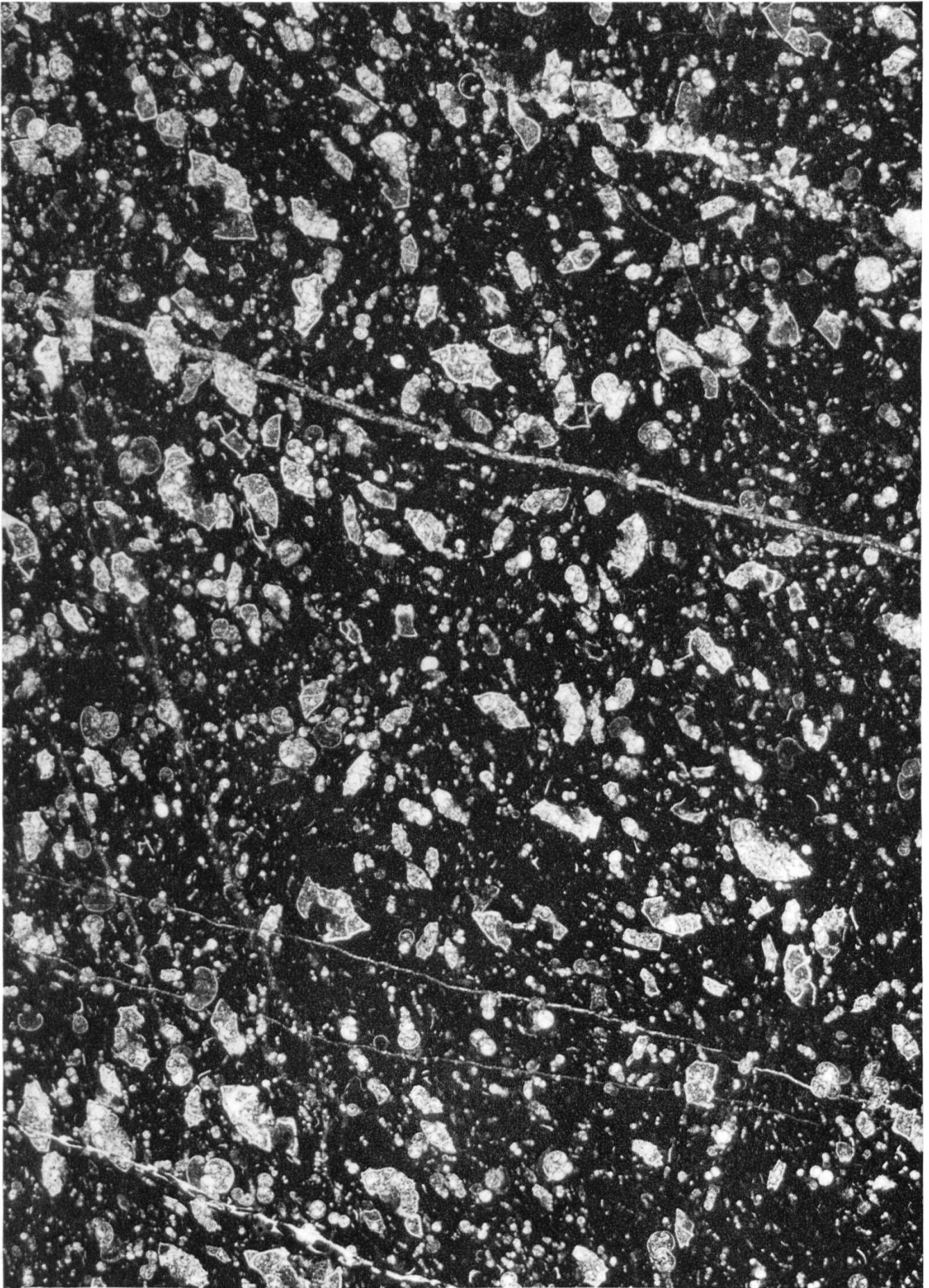


Fig. 3. Scaglia mit *Globotruncana linnei* (D'ORB.) und *Globotruncana stuarti* (DE LAPP.) = Zone 1b'.

Prof. II (M. Acuto), Schicht 23 (s. S. 35 u. Tafel I). 21 ×.

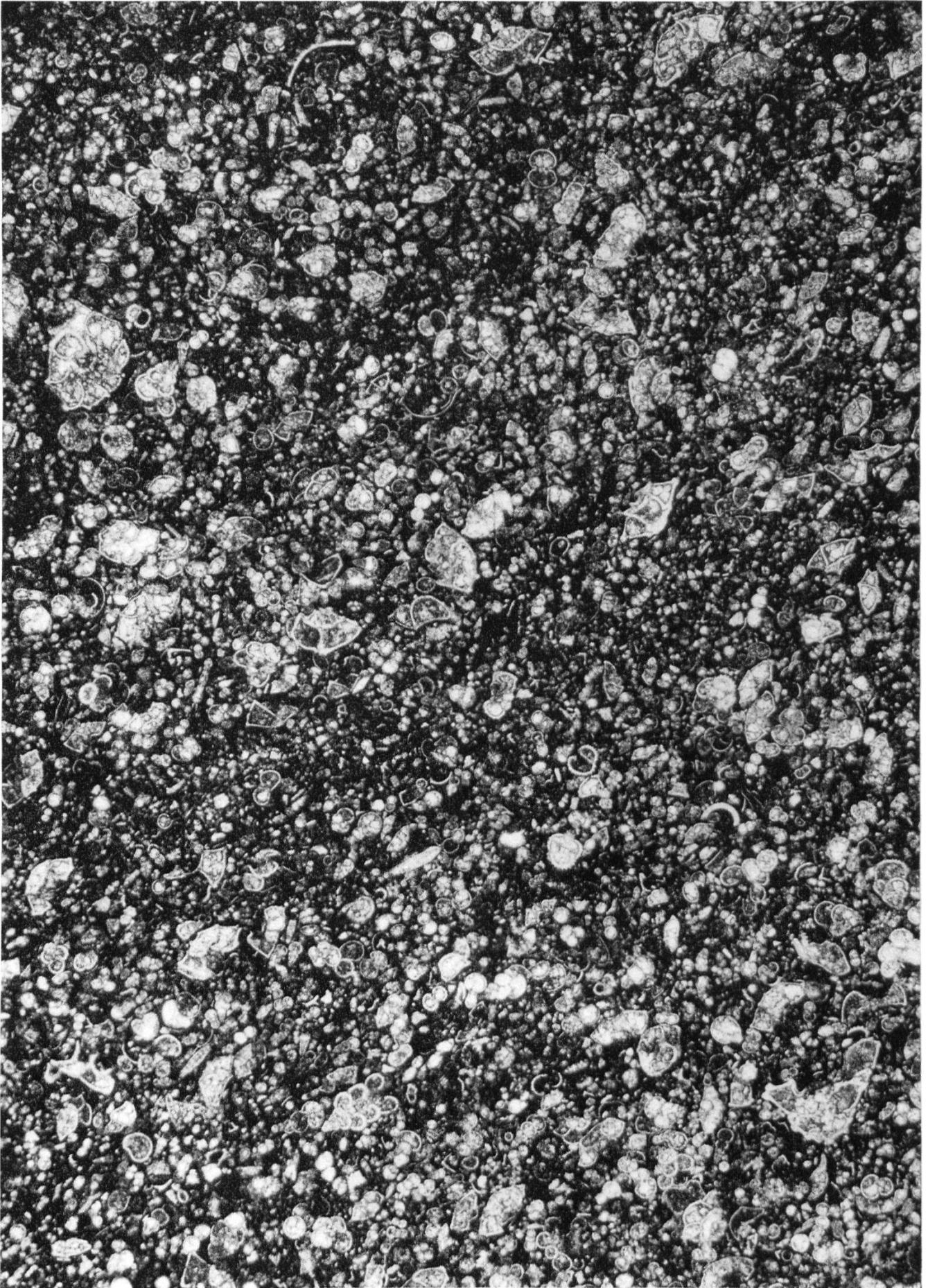


Fig. 4. Scaglia mit vorwiegend *Globotruncana stuarti* (DE LAPP) = Zone 1b''.
Prof. XIII (bei Arrone), Schicht 4 (s. S. 81 u. Tafel IV). 21 ×.

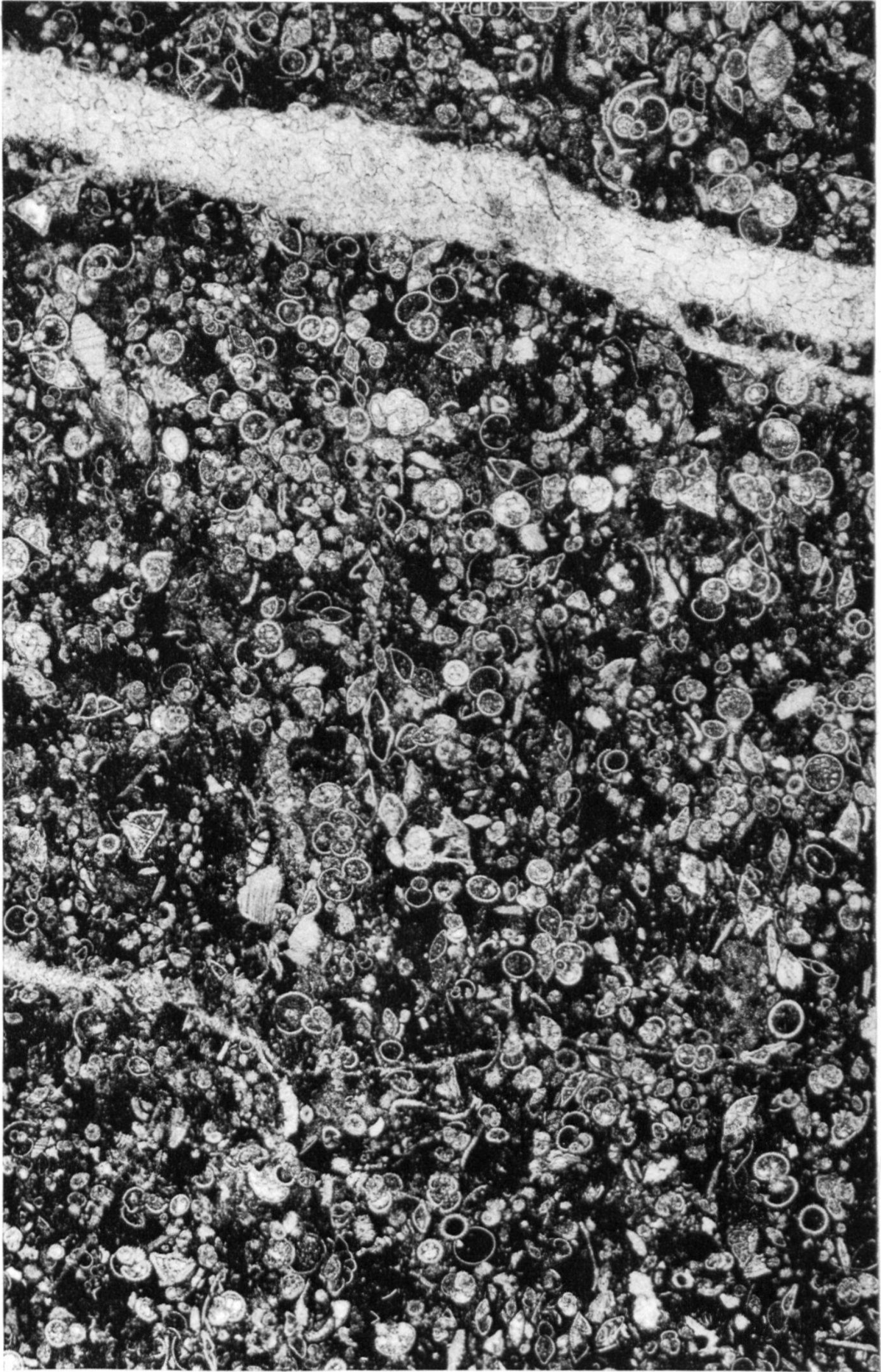
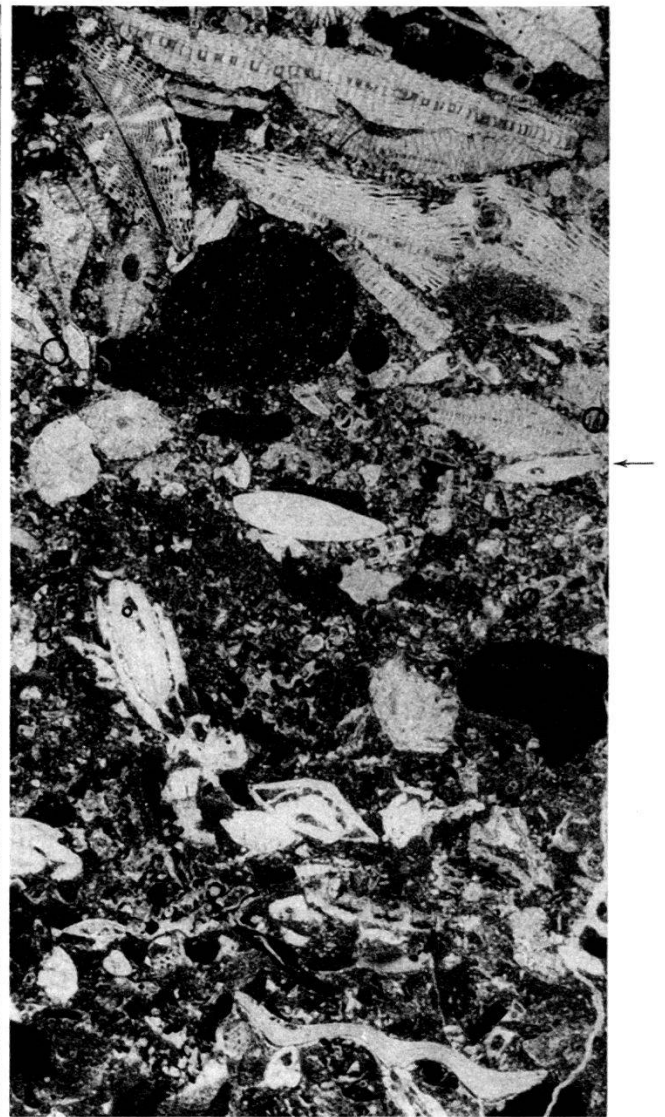
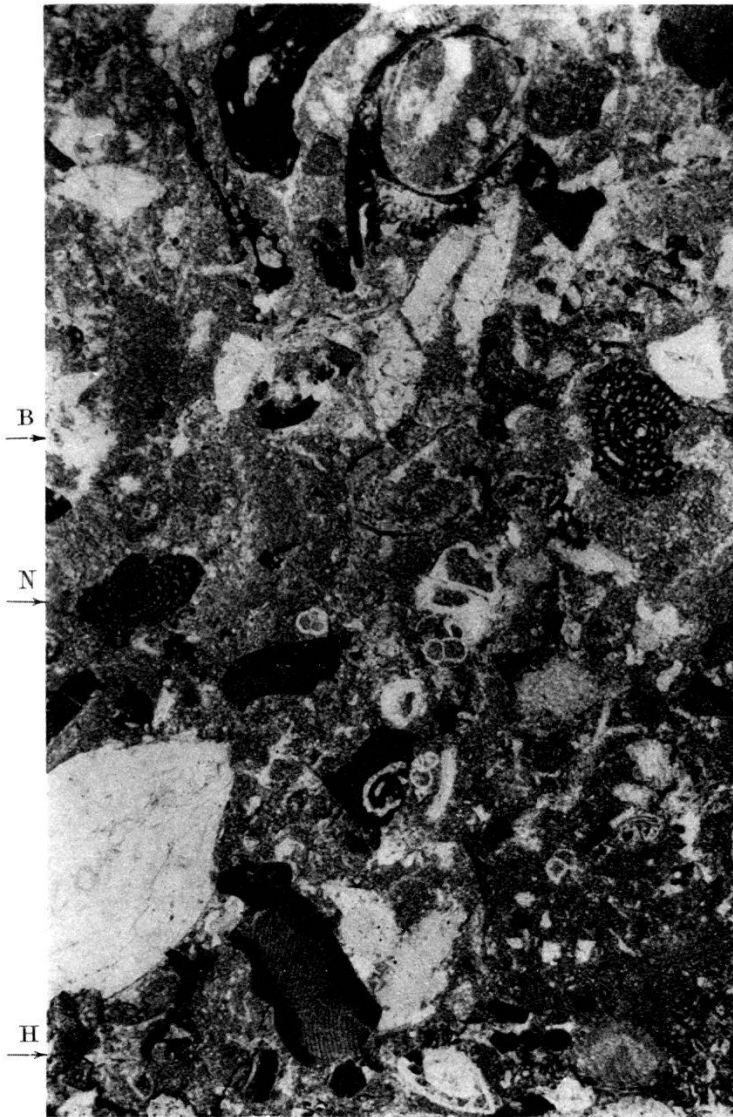


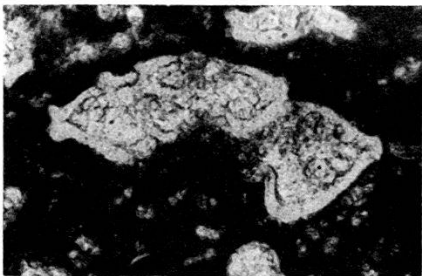
Fig. 5. Scaglia mit Globorotalien = Zone 2a.
Prof. XIII (bei Arrone), Schicht 13 (s. S. 82 u. Tafel IV). 21 ×.

Reprod. Birkhäuser, Basel.



1 a. Stampien mit *Nealveolina* (links, N), *Bullalveolina* (rechts, B), *Halkyardia* (rechts, H), Nummuliten und Lithothamnien. 14 ×.

1 b. Grenze von Stampien zu Aquitanien (erstes Auftreten der Lepidocyclinen bei ←). M. Torretta. 7 ×.



2



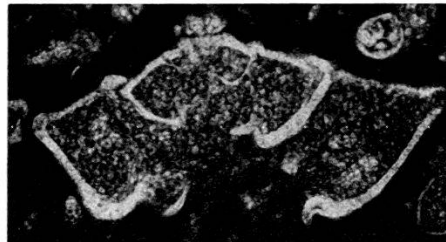
3



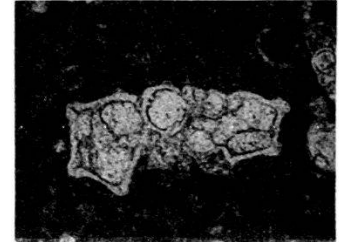
4



5



6



7

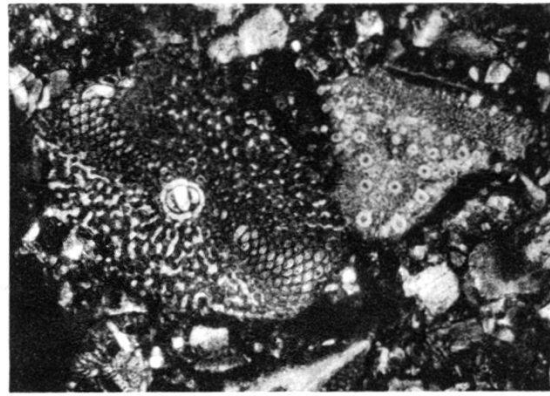
2, 3, 5. Zwischenform *G. appenninica*-*G. linnei*.

2: Prof. II, Schicht 12; 3: Prof. I, Schicht 13; 5: Prof. III, Schicht 11. 52 ×.

4. *Globo truncana appenninica* n. sp. Prof. II, Schicht 3. 52 ×.

6. *Globo truncana stuarti* (DE LAPP.) Prof. II, Schicht 24. 52 ×.

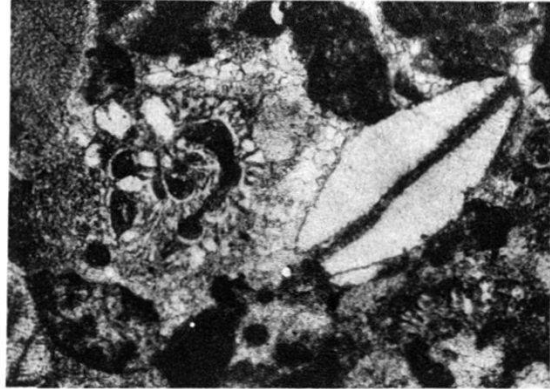
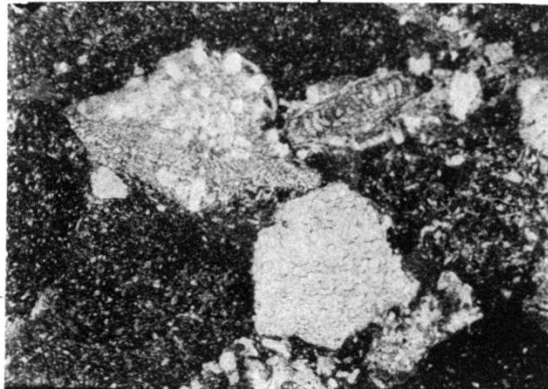
7. *Globo truncana linnei* (D'ORB.) Prof. I, Schicht 27. 52 ×.



I

1

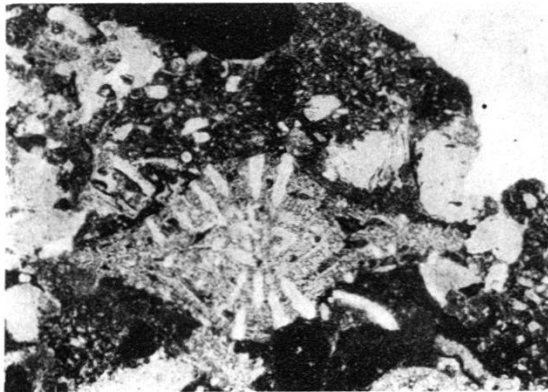
2



I

3

4



5

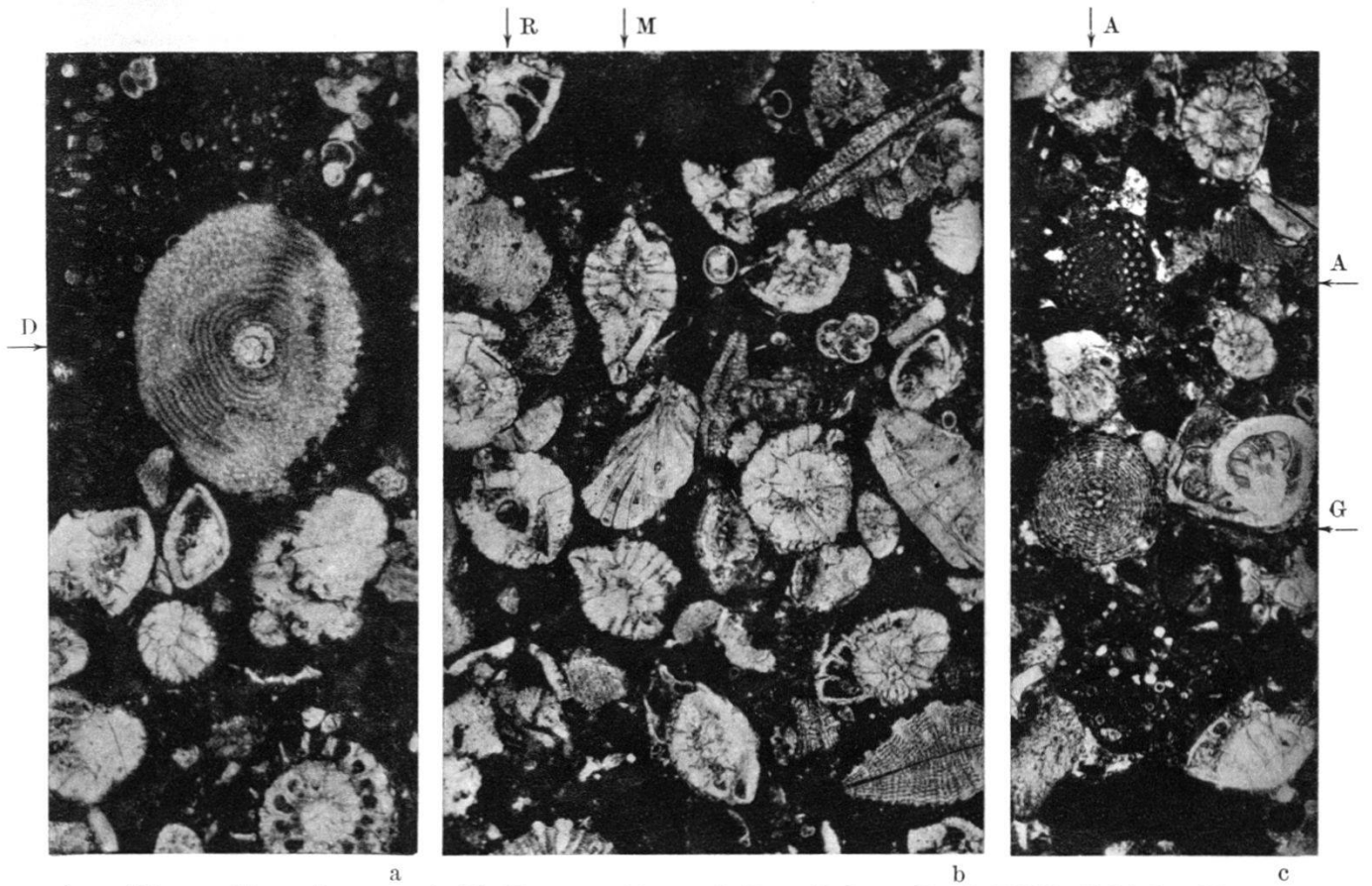
6

Obere Kreide.

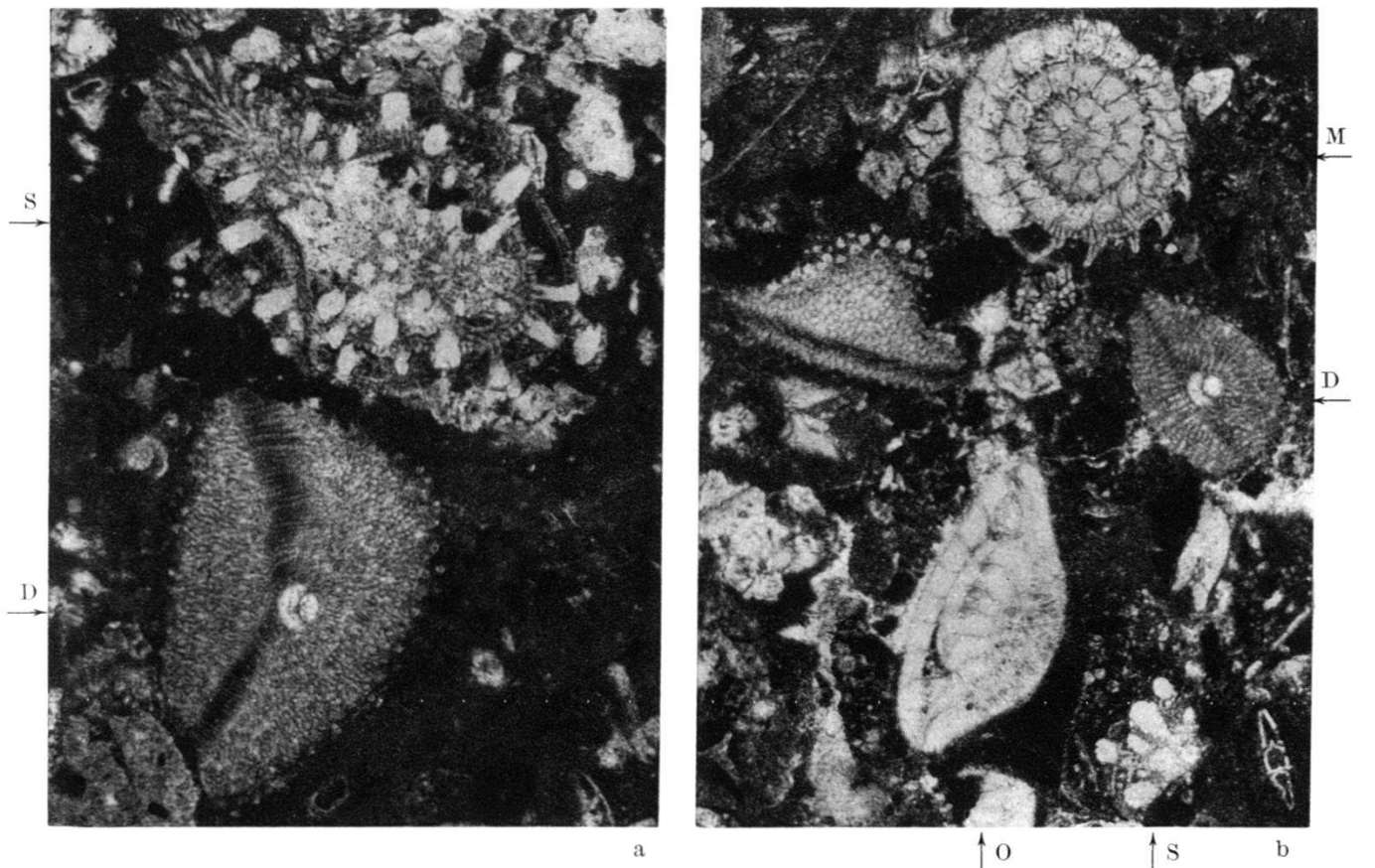
1. Orbitolinenkalk mit Rudistenfragment (Sc. mit *G. appenninica* n. sp.). Prof. XI, Schicht 13. 9 ×.
2. *Orbitoides media* D'ARCH. (links) und *Siderolites calcitrapoides* LAM. Maestrichtien, M. Roccaporena. 9 ×.
3. *Siderolites calcitrapoides* LAM., Orbitoiden und Inoceramenprismen (I). WNW Visso. 9 ×.
4. *Monolepidorbis* sp. (rechts), *Siderolites calcitrapoides* LAM. Prof. IV, Schicht 5. 25 ×.
5. *Siderolites vidali* H. DOUV. Posta. 9 ×.
6. *Simplorbites gensacicus* (LEYM.) Prof. XIII, Schicht 5. 7 ×.

O. Renz phot.

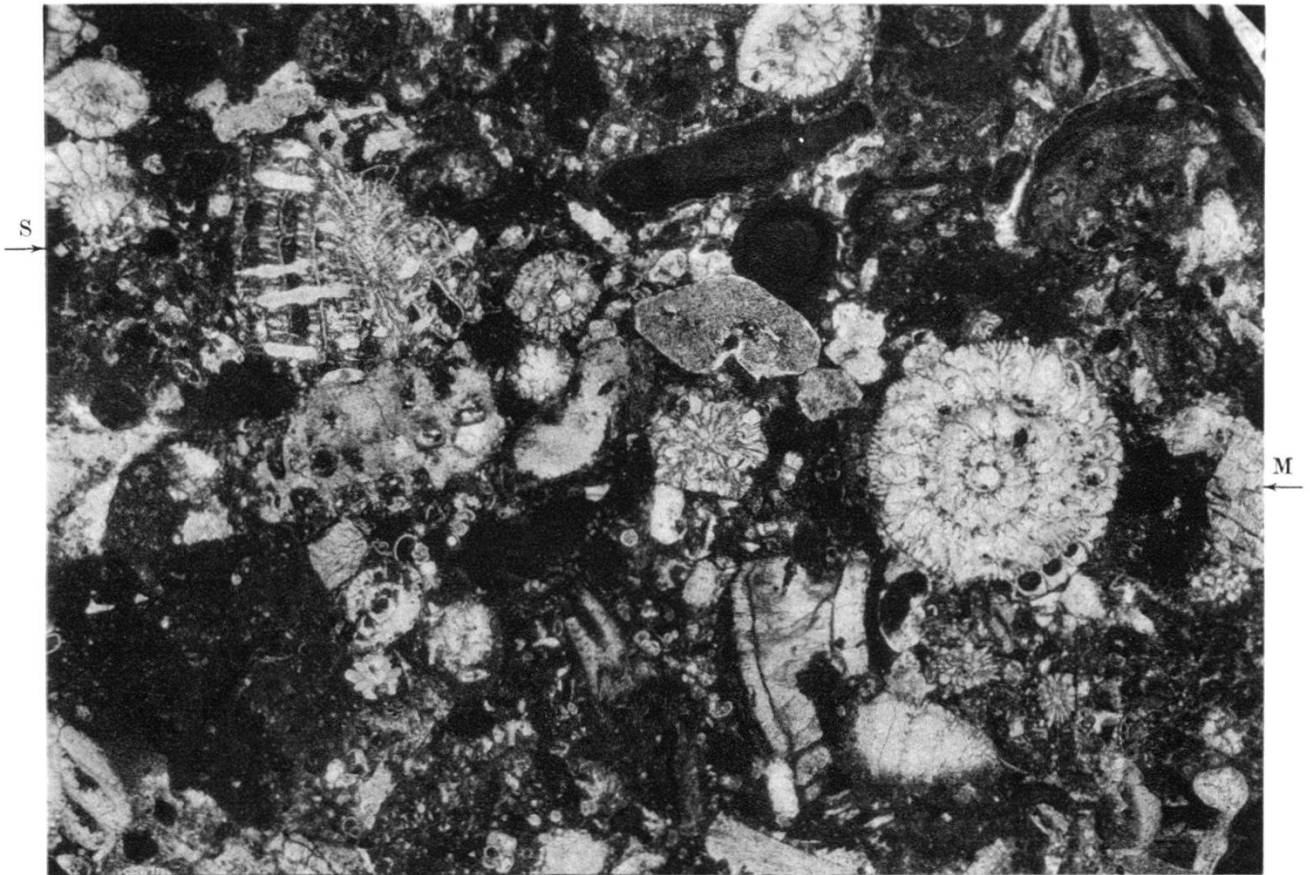
Reprod. Birkhäuser, Basel.



1 a: *Discocyclus* cf. *seunesi* (H. DOUV.) (D) und Rotaliiden. Prof. XIX, Schicht 16;
 b: *Miscellanea* cf. *miscella* (D'ARCH.) (M) und Rotaliiden (R). Prof. XIX, Schicht 21;
 c: *Gypsina globulus* REUSS (G) und *Alveolina* sp. (A). Prof. XIX, Schicht 12. Alle 14 ×.



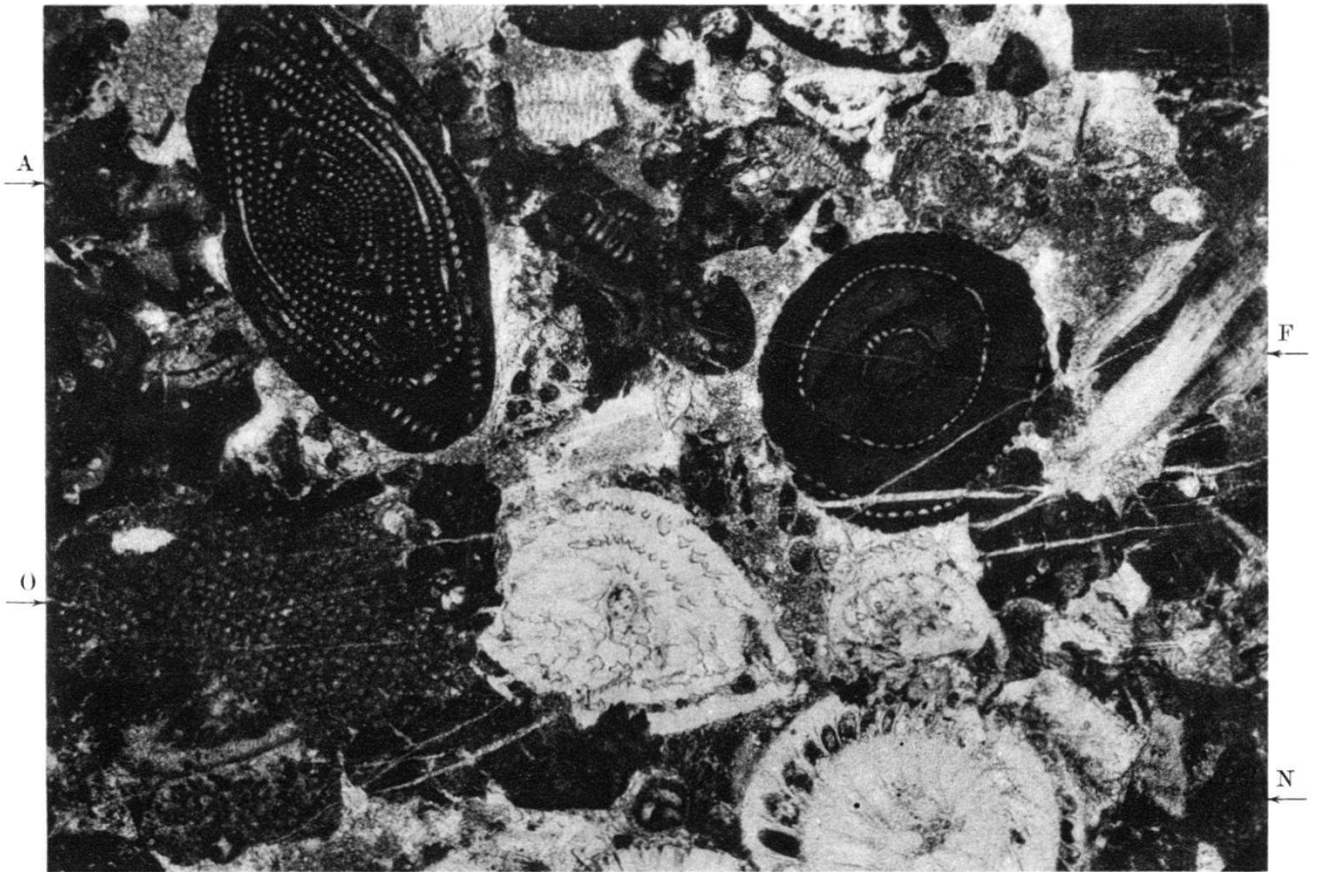
Paleocaen mit eingeschwemmten Kreidefossilien.
 2 a & b: *Miscellanea* cf. *miscella* (D'ARCH.) (M), *Discocyclus* cf. *seunesi* (H. DOUV.) (D), *Operculina* sp. (O) und *Siderolites calcitrapoides* LAM. (S) in Geröllen.
 Prof. XXIII a, Schicht 3. Beide 14 ×.



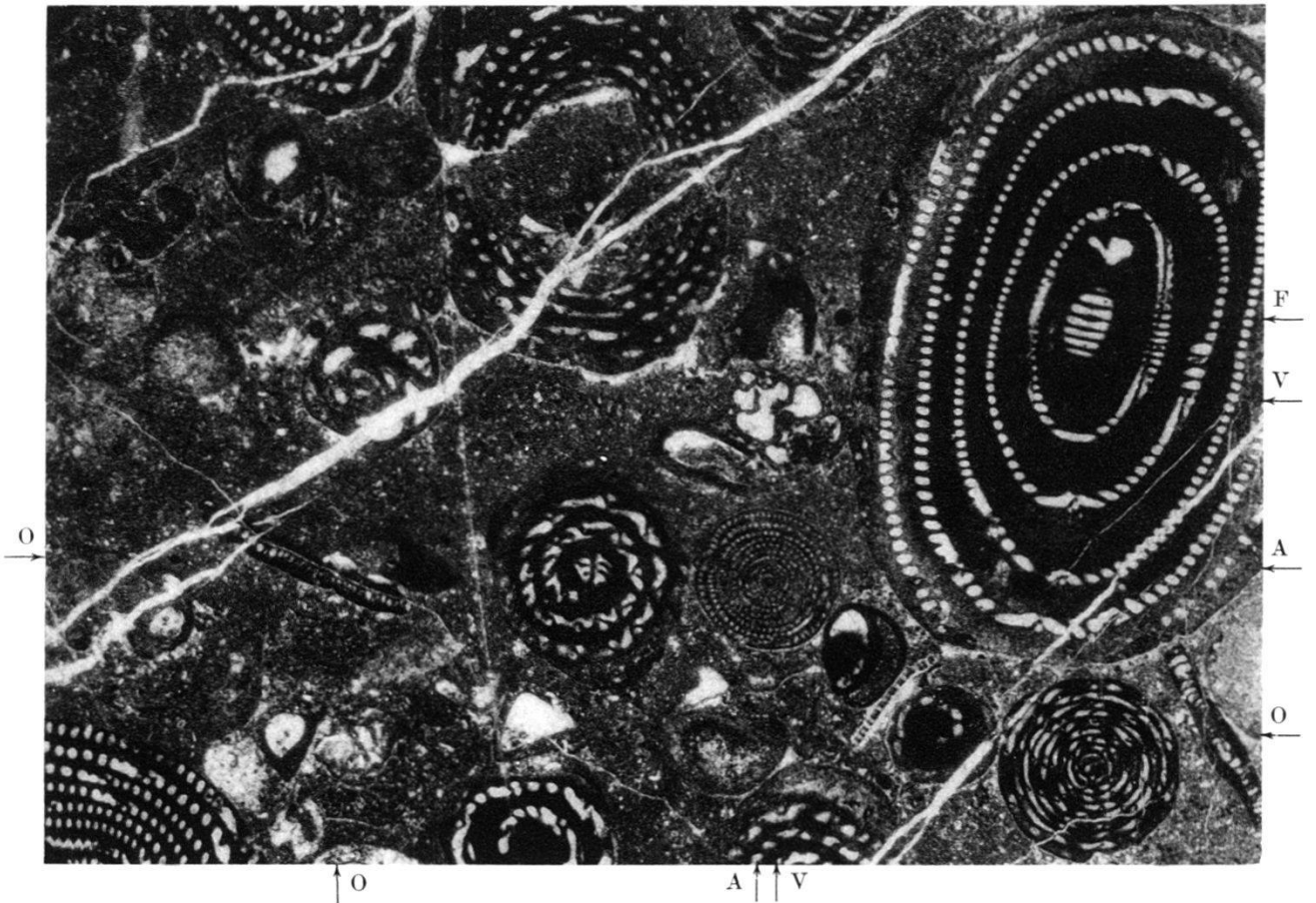
1. *Miscellanea cf. miscella* (D'ARCH.) (M) und eingeschwemmtes Fragment von *Siderolites* (S). Paleocaen. Prof. XIII, Schicht 14. 14 ×.



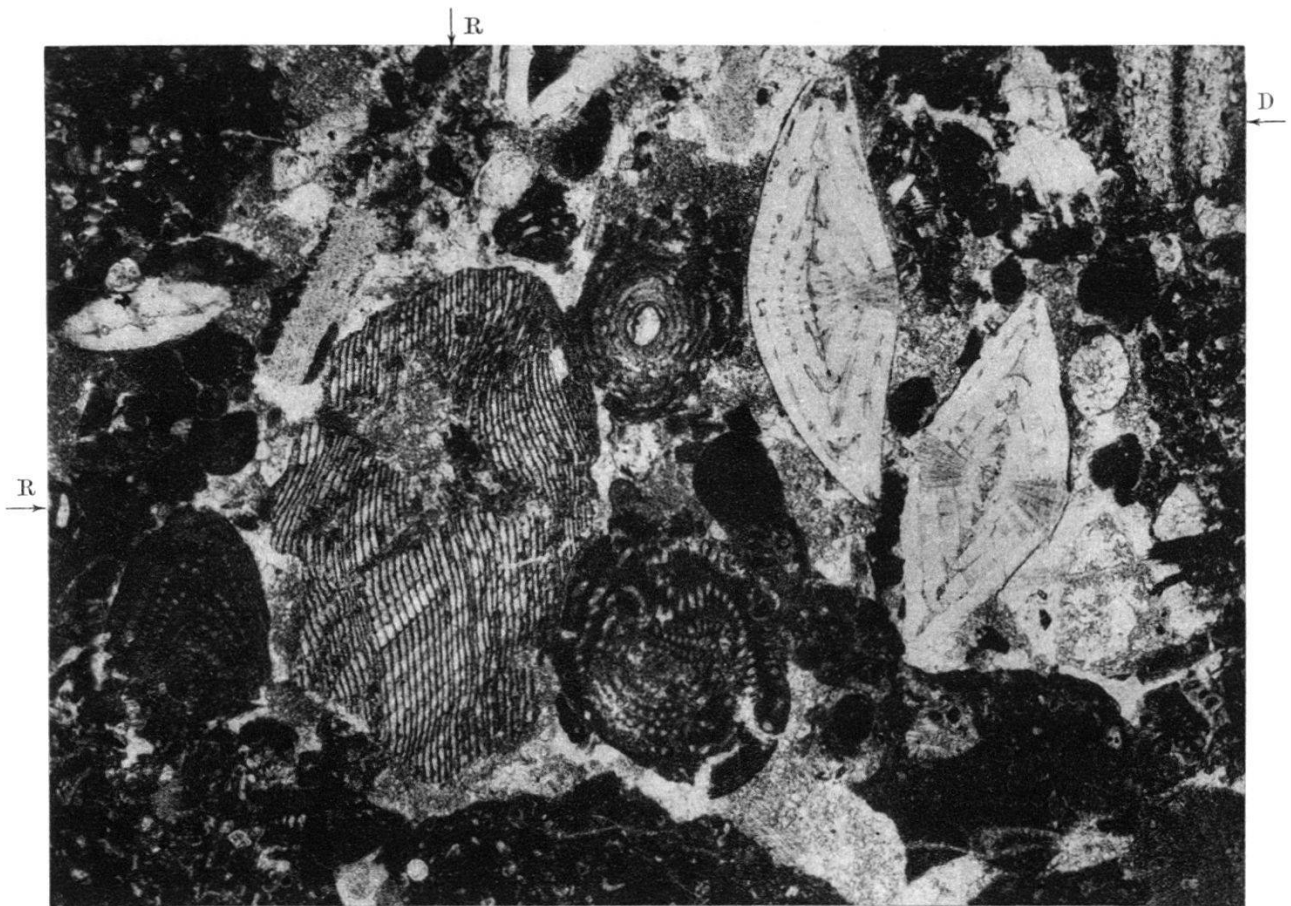
2. *Miscellanea* sp. (M), *Rotalia* (R), eingeschwemmte Fragmente von kretazischen Orbitoiden (O) und Rudisten (Ru) (unten). Paleocaen. Prof. XIII, Schicht 14. 14 ×.



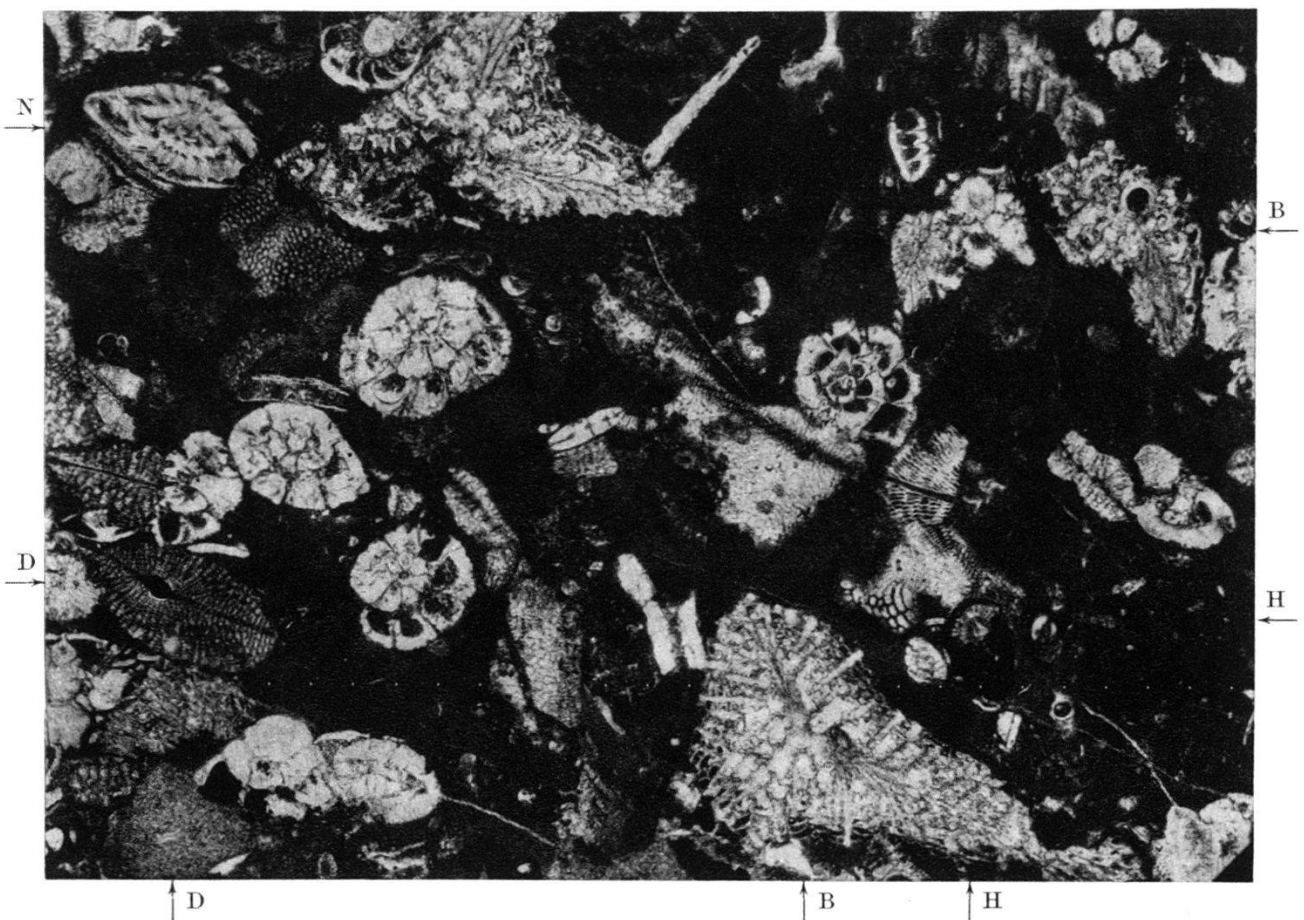
1. Mittleres Eocaen vom M. Montarello (Prof. IV). Radiate Nummuliten (N), gerollte Alveolinen (*A. schwageri* CH.-RISP. (A) und Flosculinen (F)) und Orbitoliten (O). 14 ×.



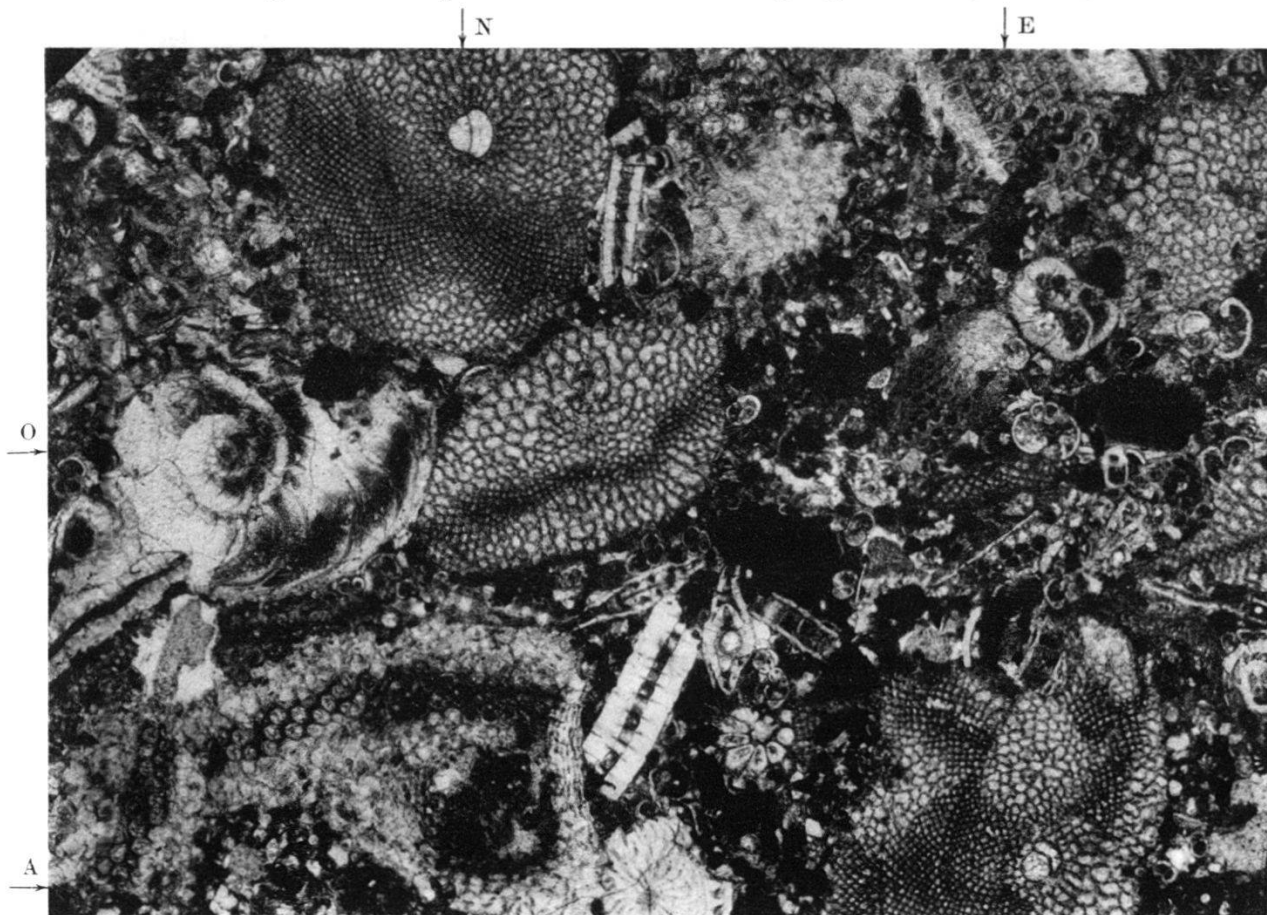
2. Alveolinenkalkgeröll (Yprésien) vom M. Torretta (Prof. XXI/2, Schicht 3) mit *Alveolina* sp., *A. minutula* REICHEL (A) (S. 138), *Alveolina* (*Flosculina* sp.) (F), *Orbitolites complanatus* LAM. (O) und Valvulinen (V). 14 ×.



1. Mittleres Eocaen von Il Poggiolo mit radiaten Nummuliten, gerollten Alveolinen, Discocyclinen (D) und eingeschwemmtem Rudistenfragment (R). 14 ×.



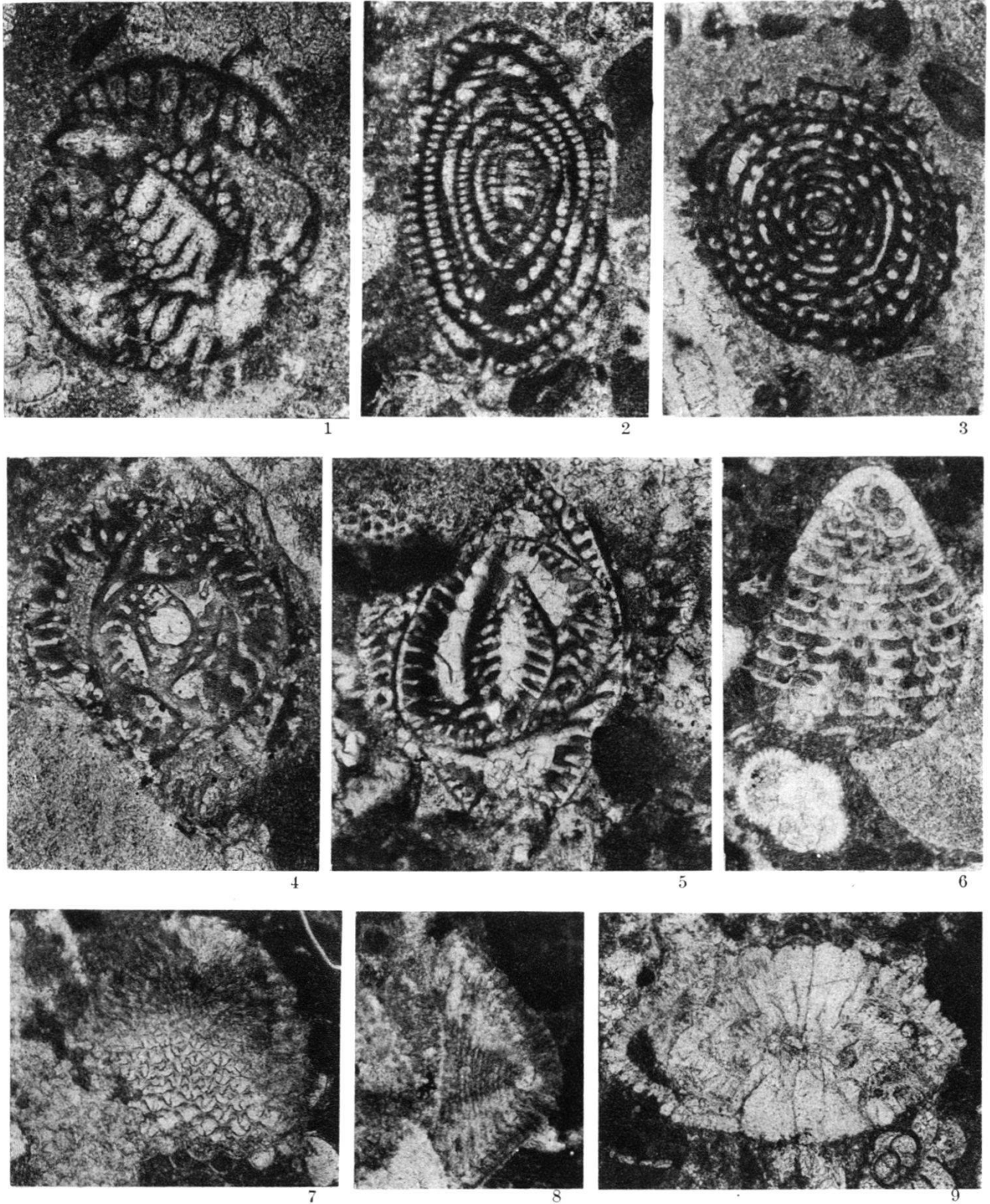
2. Obereocaener Baculogypsinenkalk (*B. meneghinii* var. *tetraedra* SILV. (B)) mit Discocyclinen (D), kleinen radiaten Nummuliten (N), Rotaliiden und *Halkyardia* (H). Prof. XXIV, Schicht 12. 14 ×.



1. Aquitaner Lepidocyclinenkalk (*Nephrolepidina tournoueri* L. & D. (N), Fragmente von Eulepidinen (E), *Operculina complanata* DEFR. (O), Amphisteginen (A), Rotaliiden und Globigerinen). Prof. XXIV, Schicht 27. 14 ×.



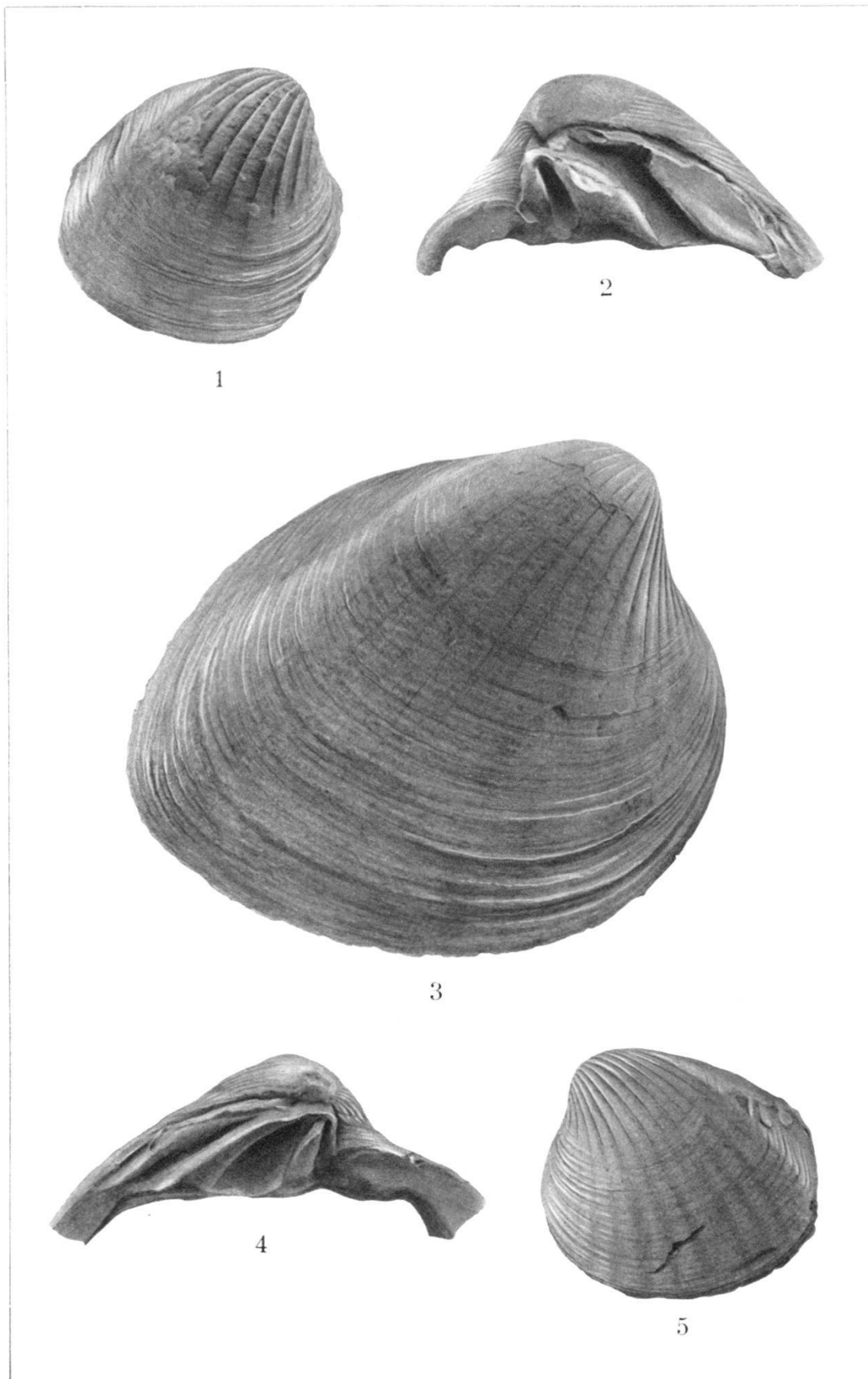
2. Miogypsinenkalk (*M. irregularis* MICH. (I), *M. complanata* SCHLUMB. (C), Nephrolepidinen (N), Fragmente von Eulepidinen (E), Rotaliiden (R)). Prof. XXI/1. 14 ×.



1. *Bullalveolina* cf. *bulloides* (D'ORB.) nach M. REICHEL, (S. 140). Unteres bis mittleres Oligocaen. Prof. XXIV, Schicht 20. Tangential. 55 ×.
2. *Neoalveolina* cf. *pygmaea* HANZAWA. Unteres Aquitanien. Prof. XXI/11. Tangential. 55 ×.
3. *Neoalveolina* sp. Oberstes Eocaen. Prof. XXIV, Schicht 16. Fast axial. 55 ×.
- 4 & 5. *Trillina howchini* SCHLUMB. Burdigalien, M. Galletto, südl. M. Murlo. 55 ×.
6. *Chapmanina gassinensis* SILV. Grenze Oberes Eocaen-Oligocaen. Prof. XXIV, Schicht 18. 40 ×.
- 7 & 8. *Halkyardia minima* (LIEBUS)
7: Prof. XXIV, Schicht 9;
8: Prof. XIV A, Schicht 5. 52 ×.
9. *Miscellanea miscella* (D'ARCH.) Prof. XVIII, Schicht 6. 30 ×.

Erklärung zu Tafel XVI.

- | | Seite |
|--|-------|
| Fig. 1. <i>Venericardia</i> cf. <i>parinensis</i> OLSSON. Fundort Nr. 22 (Marac Quarry).
Alter: Soldadoformation, Paleocaen. — Mus. Basel Nr. 207 (22). 1 : 1 | 176 |
| Fig. 2. <i>Venericardia tonosiensis</i> n. sp. Paratyp. Fundort: Zw. Bucaru an d.
Mündung des Rio Tonosi u. Punta Guanico, Prov. Los Santos,
Panama. Alter ? Unt. Obereocaen. — Mus. Basel Nr. 210. 1 : 1.
A. A. OLSSON coll. | 168 |
| Fig. 3. <i>Venericardia tonosiensis</i> n. sp. Holotyp. Fundort u. Alter wie bei
Fig. 2. — Mus. Basel Nr. 211. 1 : 1. A. A. OLSSON coll. | 168 |
| Fig. 4. <i>Venericardia tonosiensis</i> n. sp. Paratyp. Fundort u. Alter wie bei
Fig. 2. — Mus. Basel Nr. 212. 1 : 1. A. A. OLSSON coll. | 168 |
| Fig. 5. <i>Venericardia</i> cf. <i>parinensis</i> OLSSON. Fundort Nr. 22 (Marac Quarry).
Alter: Soldadoformation, Paleocaen. — Mus. Basel Nr. 206 (22). 1 : 1 | 176 |
-



Erklärung zu Tafel XVII:

	Seite
<p>Fig. 1. <i>Venericardia ameliae maracensis</i> HARRIS. Fundort Nr. 22 (Marac Quarry). Alter: Soldadoformation, Paleocaen. — Mus. Basel Nr. 213 (22). 1:1. Exemplar mit ziemlich deutlicher Dreiteilung der Rippen</p>	201
<p>Fig. 2. <i>Venericardia ameliae maracensis</i> HARRIS. Fundort Nr. 22 (Marac Quarry). Alter: Soldadoformation, Paleocaen. — Mus. Basel Nr. 214 (22). 1:1</p> <p>a) Linke Klappe mit kräftigen, warzenförmigen Dornen. b) Ansicht desselben Gehäuses von vorn.</p>	201
<p>Fig. 3. <i>Venericardia ameliae</i> PERON. Fundort Nr. 22 (Marac Quarry). Alter: Soldadoformation, Paleocaen. — Mus. Basel Nr. 215 (22). 1:1</p>	200
<p>Fig. 4. <i>Venericardia ameliae maracensis</i> HARRIS. Fundort Nr. 22 (Marac Quarry). Alter: Soldadoformation, Paleocaen. — Mus. Basel Nr. 216 (22). 1:1</p> <p>a) Innenansicht einer rechten Klappe. b) Aussenansicht derselben Klappe. Relativ niedriges Gehäuse mit stark gerundeten Rippen.</p>	201



1



2a



3



2b



4a



4b

Série stratigraphique de la zone ultrahelvétique.

J. TERCIER: Zone ultrahelvétique en Autriche.

— = Base du faciès Flysch

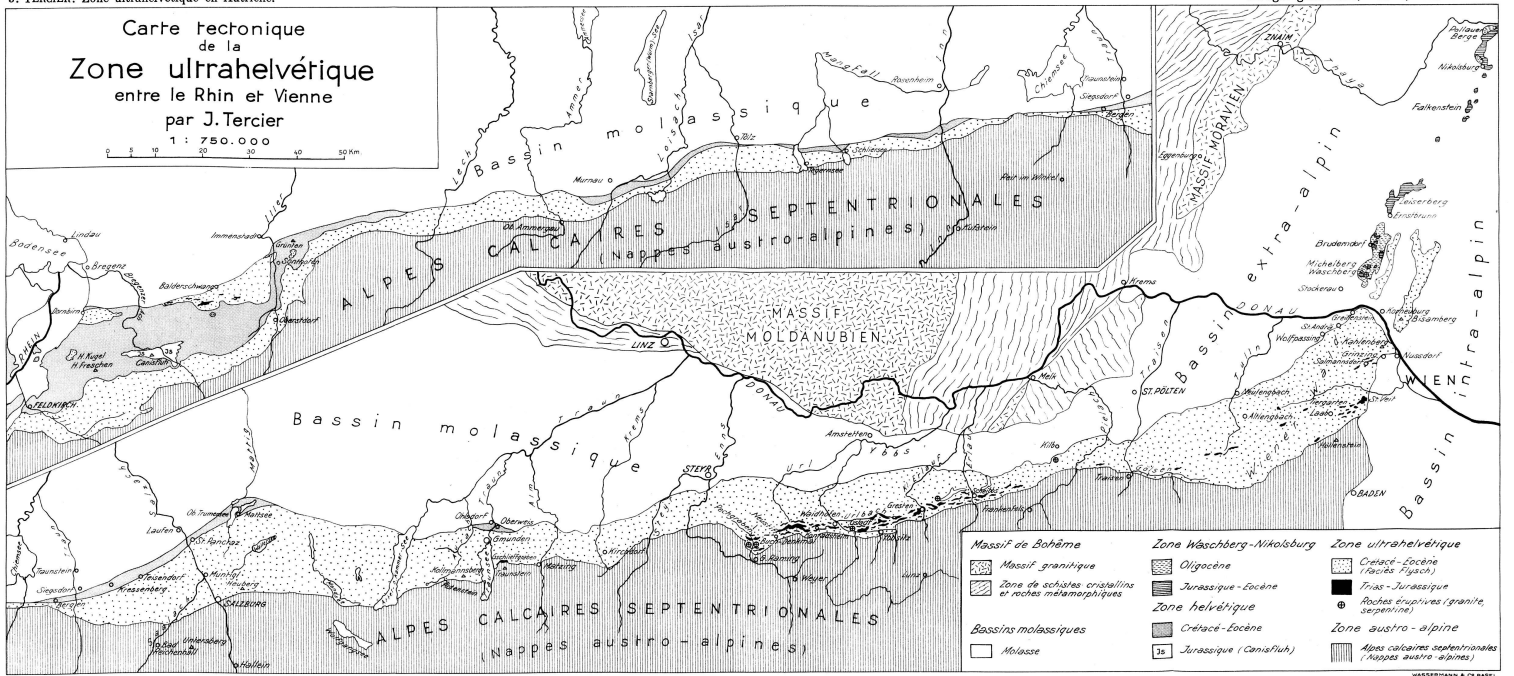
Eclogae geol. Helv., Vol. 29, Planche XVIII.

	Suisse occidentale	Suisse orientale — Vorarlberg	Bavière	Région de Salzbourg—Traunsee	Région de Waidhofen	Région de Scheibbs	Wienerwald et zone des klippen (Ober St. Veit, Lainzer Tiergarten)
Oligocène Eocène Paléocène	— Grès du Gurnigel Wildflysch	— Grès à nummulites Wildflysch	Grès à nummulites Calc. bréchoïde à nummulites	Grès à nummulites Calcaire à nummulites	Grès à nummulites Calcaire à nummulites	Grès glauconieux à nummulites	Grès de Greifenstein Grès de Laab
Crétacé	Sénonien: Couches de Leimern Turonien: Calcaires et marnes Albien Barrémien-Aptien Hauterivien Valanginien Berriasien	Sénonien: Marnes, local. faciès Wildflysch Turonien: Calcaires et marnes Barrémien-Aptien: Couches du Drusberg	Marnes rouges avec grès Couches à ciment (à la base, faciès Wildflysch) Couches à Orbitolines	Marnes rouges et grès à inocérames Flysch à inocérames (Flysch de Muntigl ou de Salzbourg)	Schistes bariolés? Couches à inocérames Flysch néocomien	Schistes bariolés Couches à inocérames Flysch néocomien	Schistes bariolés? Couches à inocérames Grès glauconieux Flysch néocomien
	Calcaire tithonique à <i>Aptychus</i> Malm Dogger Lias	Calcaire gréseux à <i>Aptychus</i> (Fläscherberg)	Calcaire à <i>Aptychus</i>	? Manque à l'affleurement Lias: Couches de Gresten (Gschlieffgraben)	Marnes et calcaires à <i>Aptychus</i> (Tithonique-Valanginien) Malm Dogger Lias	Succession complète des étages avec abondantes zones à ammonites	
Trias supérieur	Marnes bariolées Dolomie et corgneule Gypse				Couches de Kössen Corgneule, Dolomie		Couches de Kössen
Soubassement cristallin	Connu seulement en dépôts secondaires dans le Flysch, accessoirement dans la série jurassique				Granite du Buch-Denkmal	Serpentine de Kilb?	En dépôts secondaires dans le Flysch

Carte tectonique de la Zone ultrahelvétique entre le Rhin et Vienne par J. Tercier

1 : 750.000

0 10 20 30 40 50 Km



WASSERMANN & CO. BASEL

Erklärung zu Tafel XX

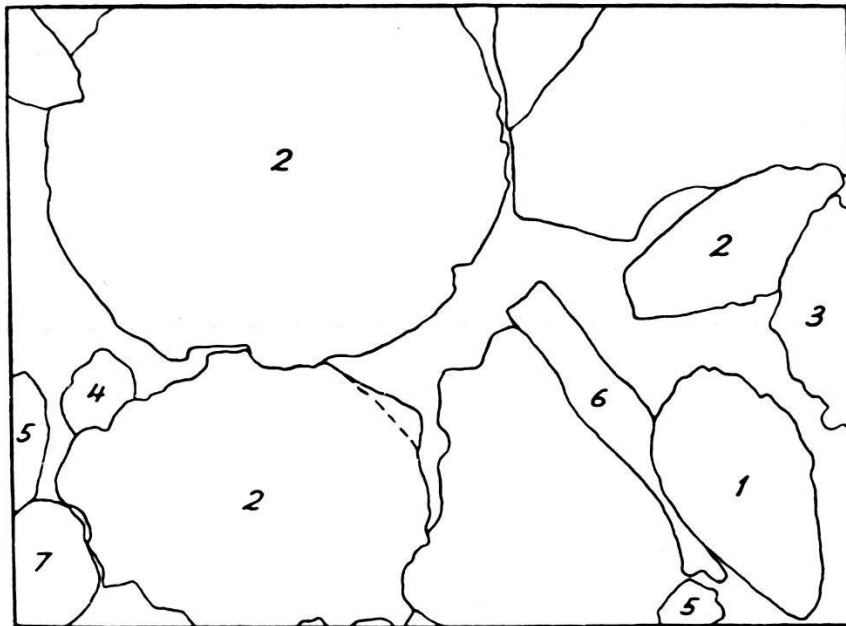


Fig. 1. Feinkonglomeratischer Kalk mit

- 1 *Orbitoides media* (D'ARCH.), Kreide
- 2 *Nummulites subatacicus* H. DOUV., Eocaen
- 3 *Eulepidina* sp., Aquitanien
- 4 *Amphistegina* sp.
- 5 *Rotalia tuberculata* SCHUBERT
- 6 *Operculina* sp.
- 7 *Lithothamnium*

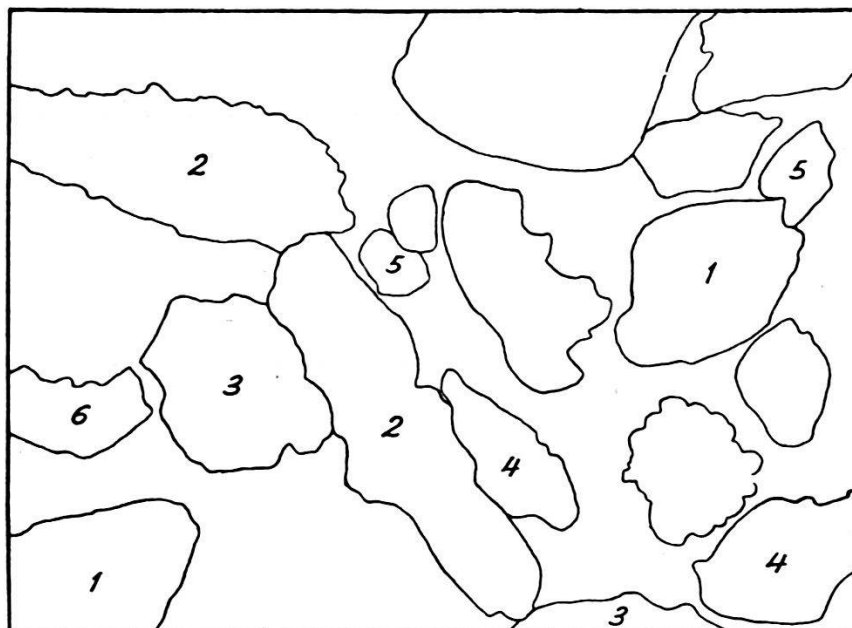


Fig. 2.

- 1 *Orbitoides media* (D'ARCH.), Kreide
 - 2 *Eulepidina dilatata* (MICH.), Aquitanien
 - 3 *Nephrolepidina* sp.
 - 4 *Heterostegina* sp.
 - 5 *Amphistegina* sp.
 - 6 *Miogypsina complanata* SCHLUMB., Burdigalien
- } Oligocaen-Miocaen

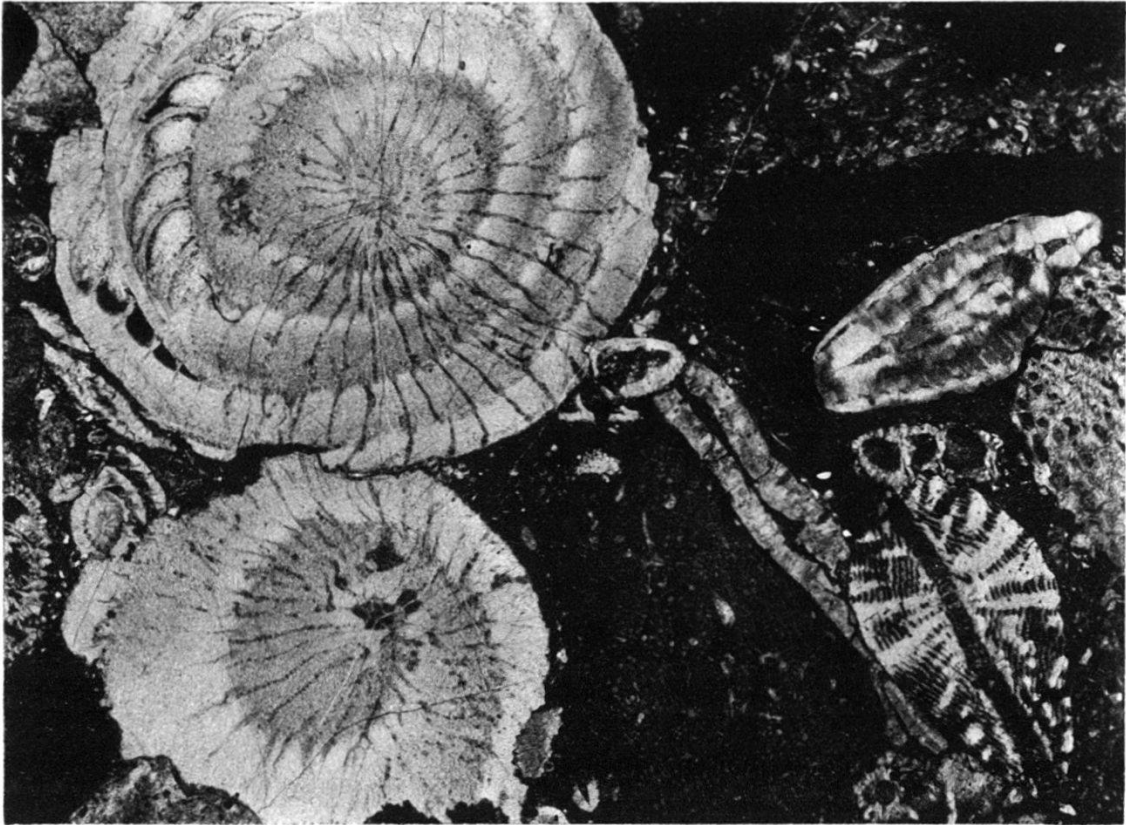


Fig. 1. Vergr. 15 ×.

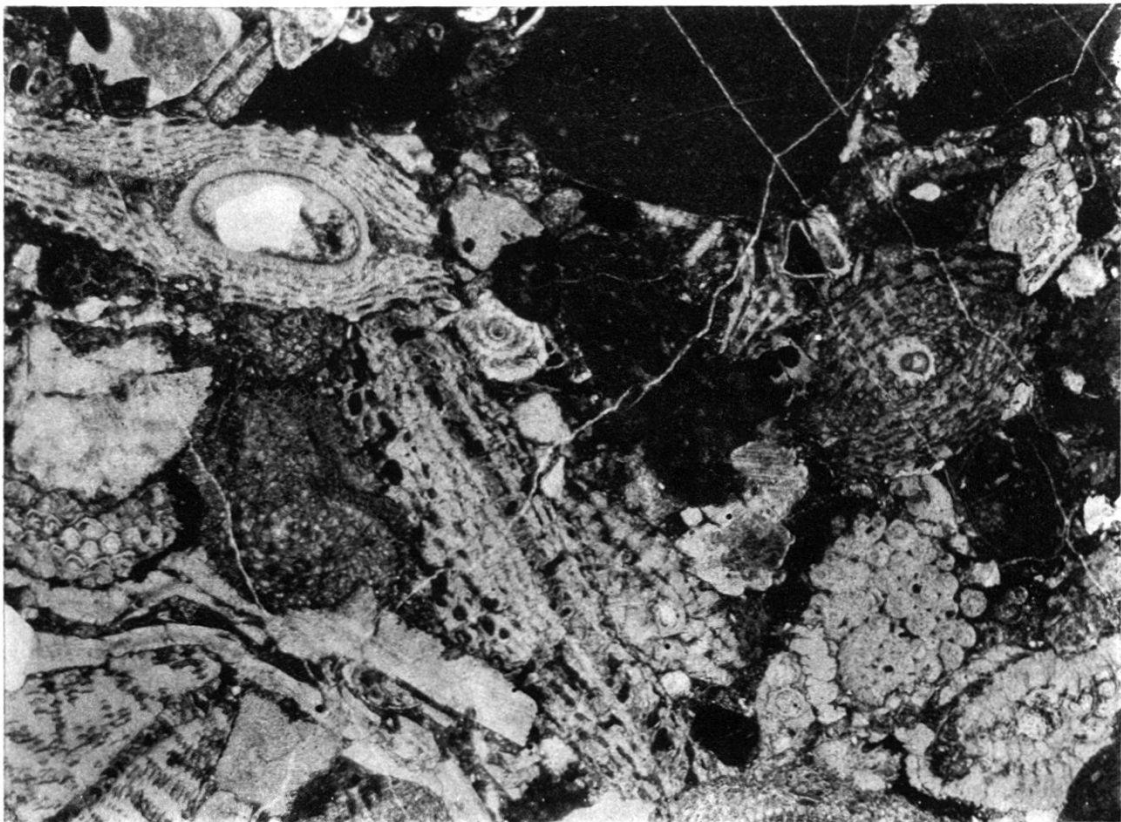


Fig. 2. Vergr. 15 ×.

Erklärung zu Tafel XXI

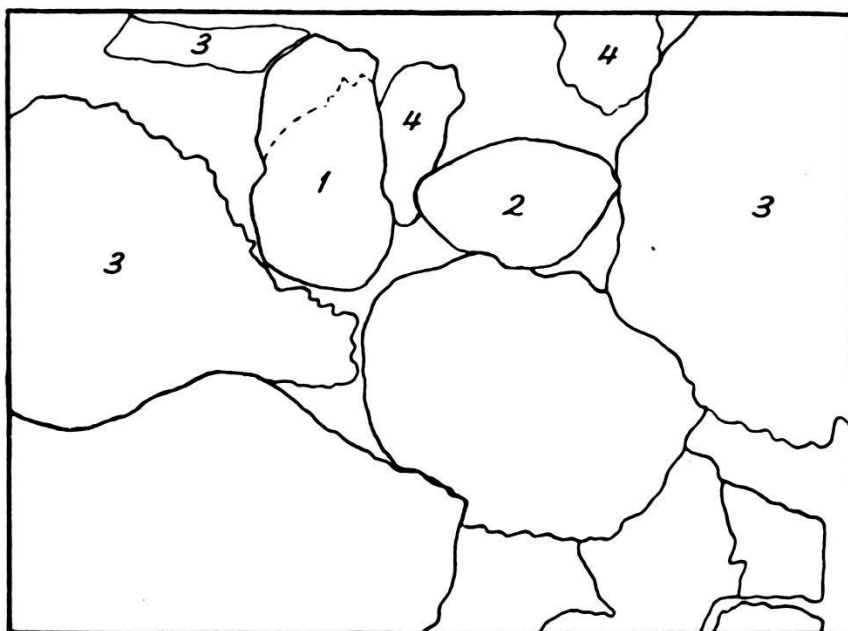


Fig. 1. Feinkonglomeratischer Kalk mit

- 1 *Siderolites* cf. *calcitrapoides* LAM., Oberkreide
- 2 *Nummulites* sp., Eocaen
- 3 *Eulepidina dilatata* (MICH.), Aquitanien
- 4 *Miogypsina complanata* SCHLUMB., Burdigalien

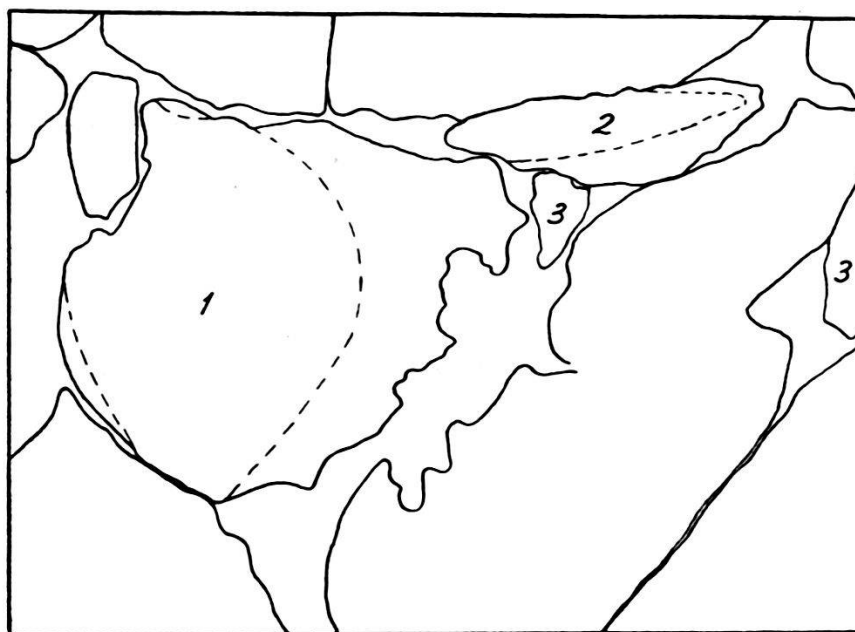


Fig. 2.

- 1 *Nummulites* cf. *subatacicus* H. DOUV., Eocaen
- 2 *Discocyclina* sp. in Geröll, Eocaen
- 3 Bruchstücke von *Lepidocyclinen* in der Grundmasse, Oligocaen



Fig. 1. Vergr. 15 ×.



Fig. 2. Vergr. 15 ×.

Erklärung zu Tafel XXII

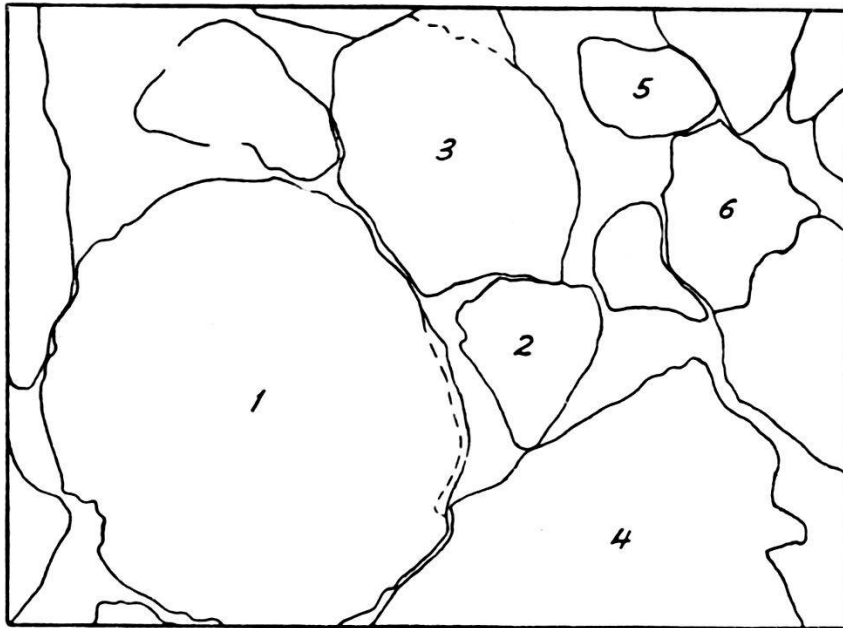


Fig. 1.

- 1 *Nummulites subatacicus* H. Douv., Eocaen
- 2 *Nummulites* sp., Eocaen
- 3 *Nephrolepidina* sp. in Geröll
- 4 *Eulepidina dilatata* (Mich.), Aquitanien
- 5 *Alveolina*, Eocaen
- 6 *Lithothamnium*

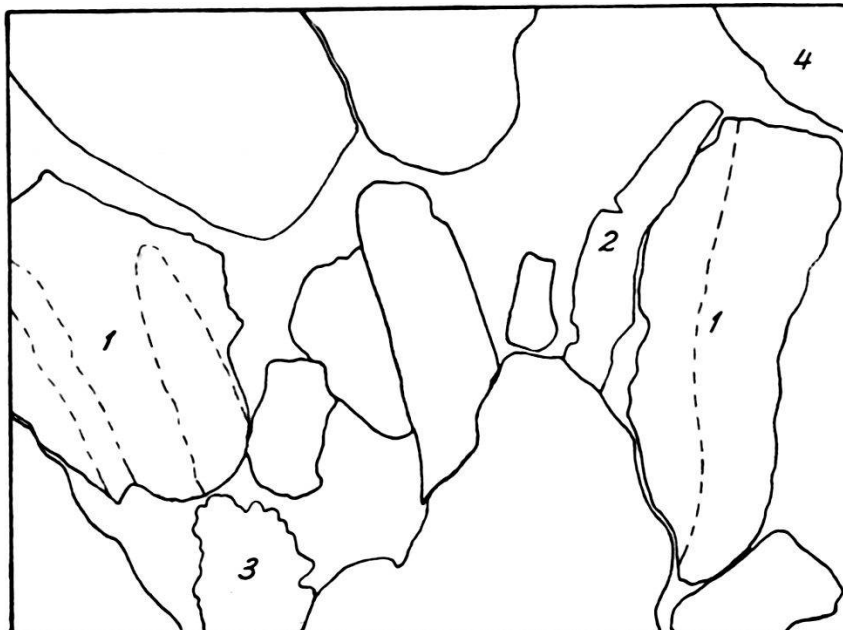


Fig. 2. Feinkonglomeratischer Kalk mit

- 1 *Eulepidina* sp. in Geröll
- 2 *Eulepidina* sp. in der Grundmasse
- 3 *Rotalia tuberculata* SCHUBERT
- 4 *Orbitoides* sp., Kreide

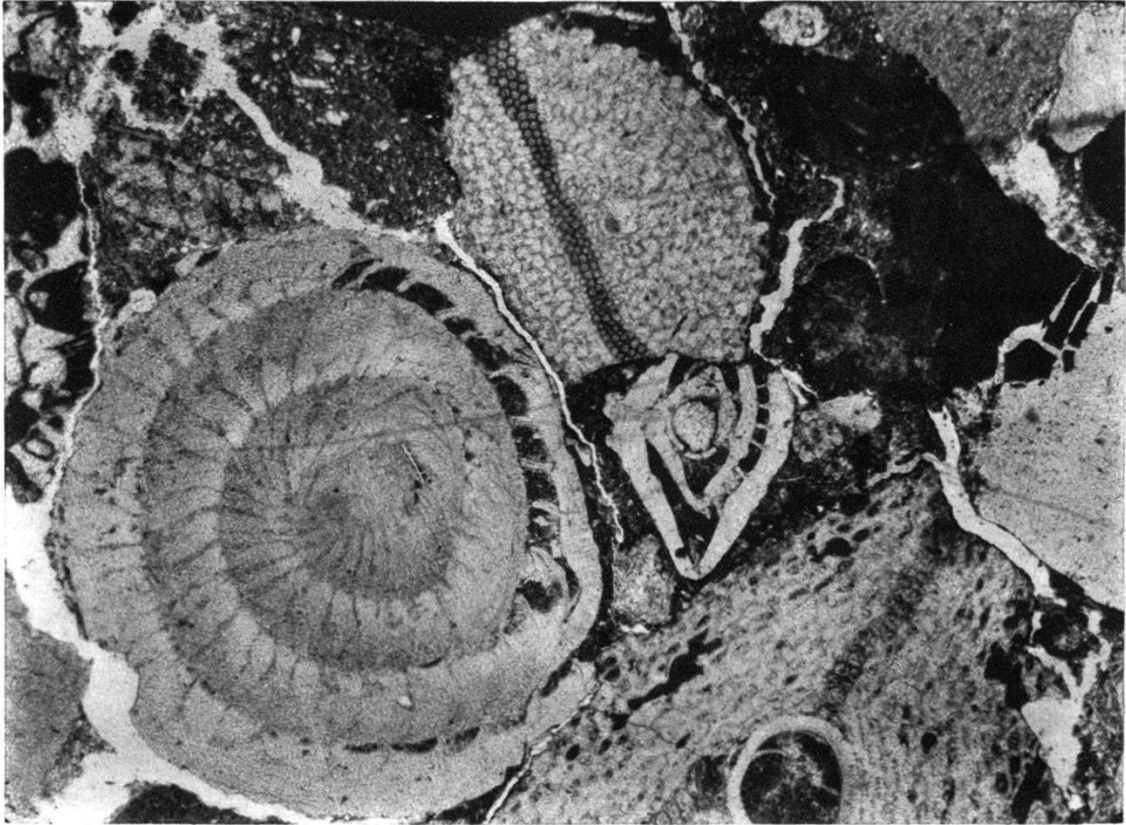


Fig. 1. Vergr. 15 ×.



Fig. 2. Vergr. 15 ×.

Erklärung zu Tafel XXIII

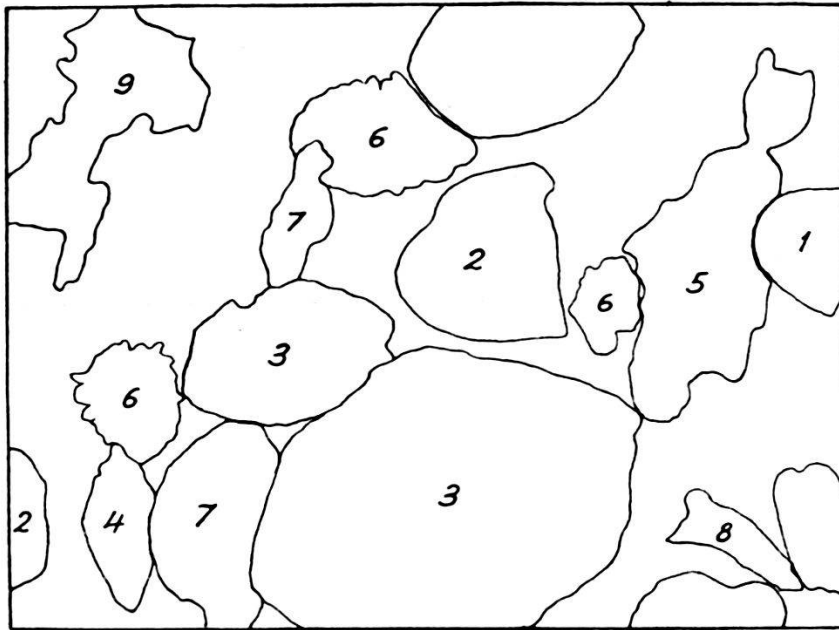


Fig. 1. Feinbrecciöser bis konglomeratischer Kalk mit

- 1 *Lituonella roberti* SCHLUMB., Paleocaen
- 2 *Alveolina* s. s., Eocaen
- 3 *Discoyclina* sp., Eocaen
- 4 *Operculina* sp.
- 5 *Spiroclypeus* sp.
- 6 *Rotalia tuberculata* SCHUBERT, Olig.-Miocaen
- 7 *Nephrolepidina tournoueri* L. & D., Olig.-Miocaen
- 8 *Miogypsina* sp., Burdigalien
- 9 *Lithothamnium*

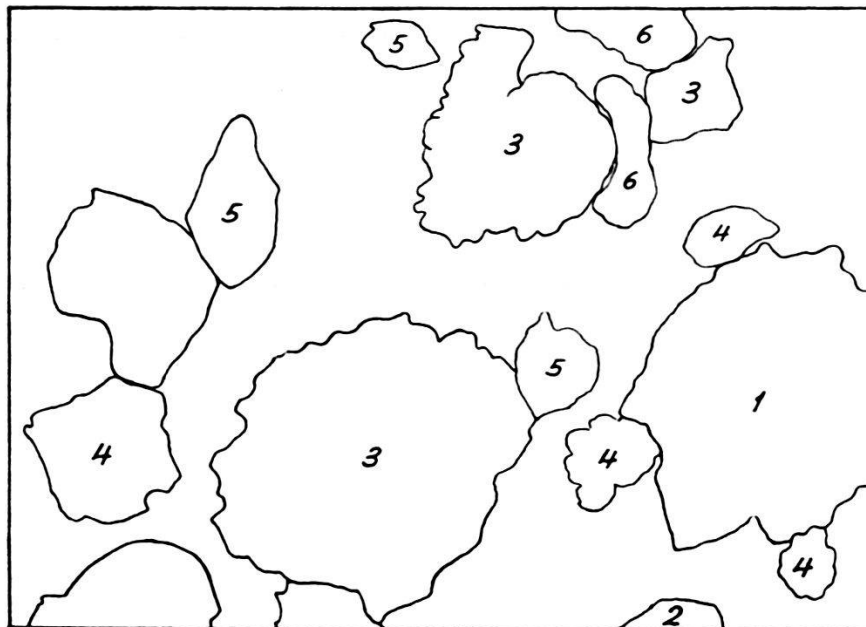


Fig. 2.

- | | |
|---|-----------------|
| <ol style="list-style-type: none"> 1 <i>Eulepidina dilatata</i> (MICH.) 2 <i>Nephrolepidina</i> sp. 3 <i>Rotalia tuberculata</i> SCHUBERT 4 <i>Rotalia</i> sp. 5 <i>Amphistegina</i> sp. 6 <i>Miogypsina complanata</i> SCHLUMB., Burdigalien | } Olig.-Miocaen |
|---|-----------------|



Fig. 1. Vergr. 13 ×.

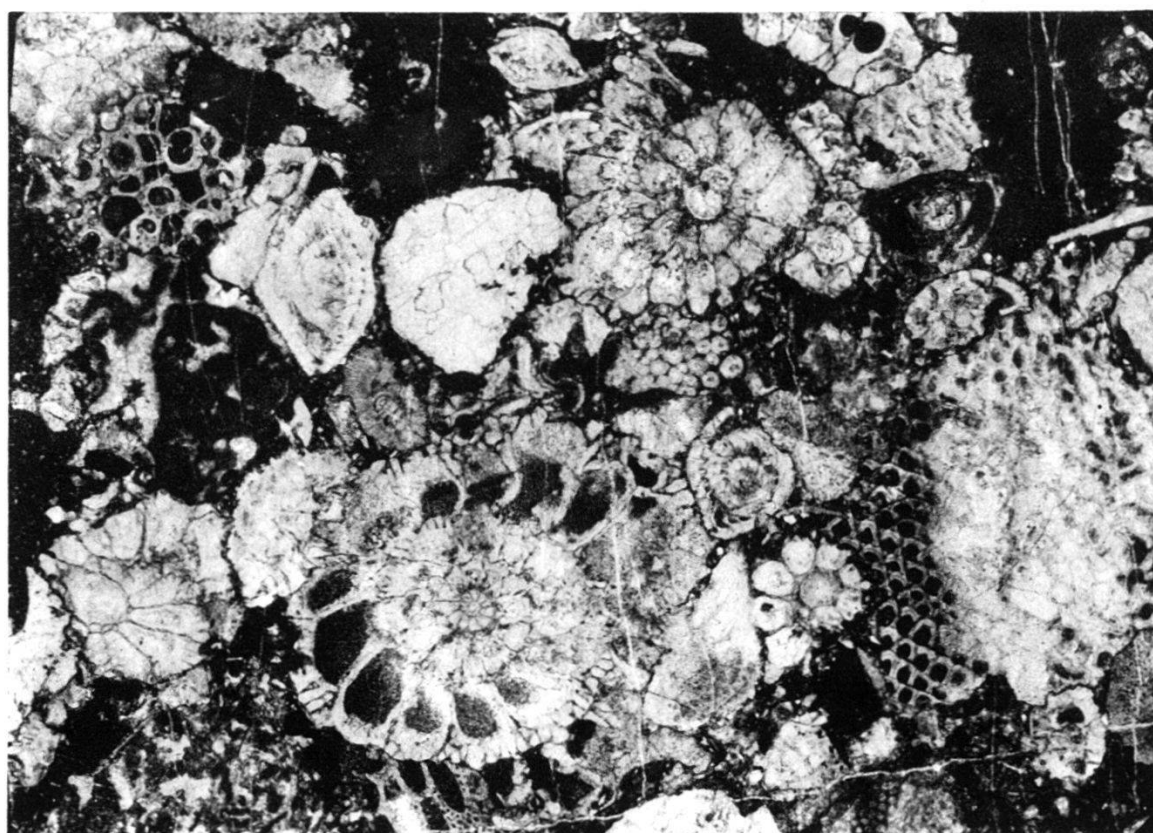


Fig. 2. Vergr. 13 ×.

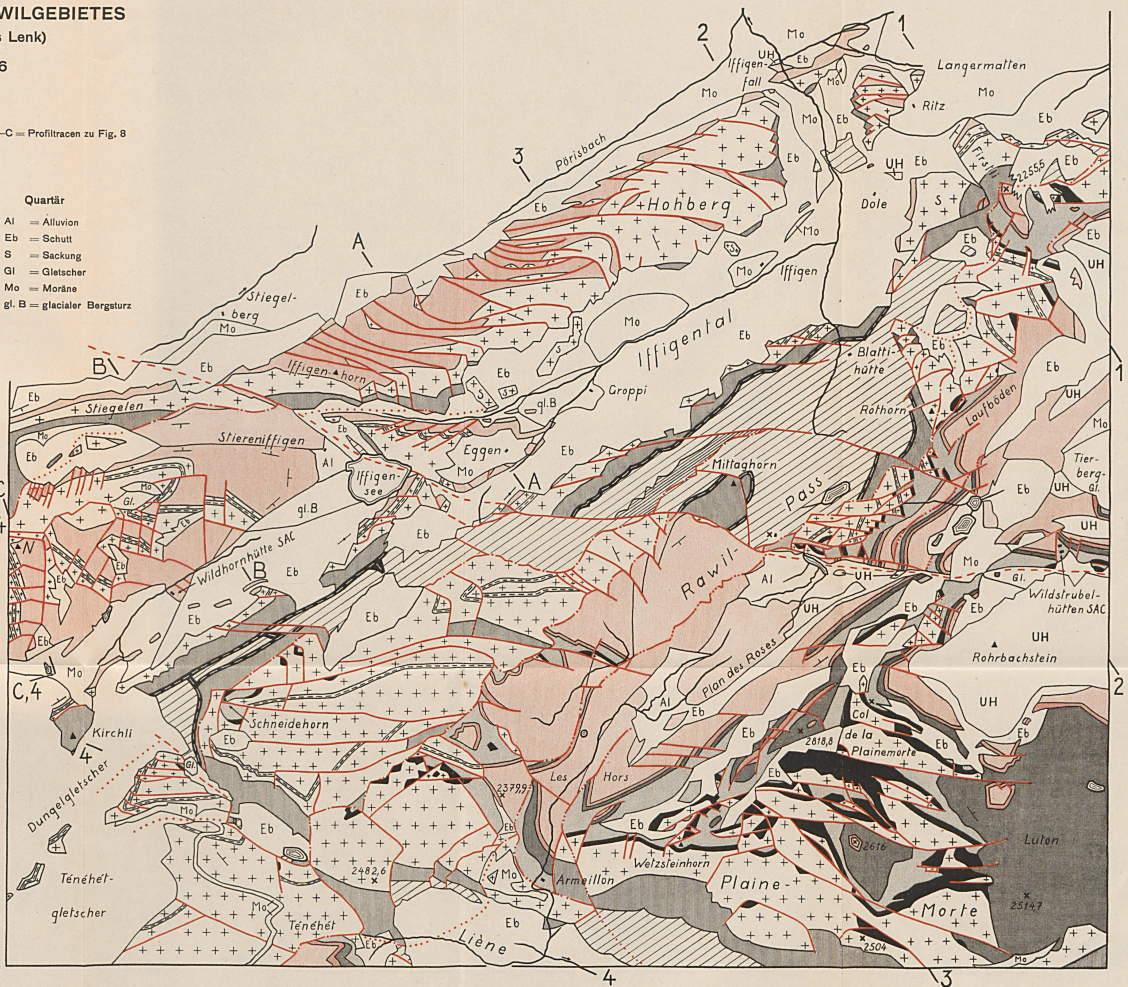
TEKTONISCHE KARTE DES RAWILGEBIETES (SE-Ecke des Siegfriedblattes Lenk)

Von H. P. SCHAUB, 1936

Masstab 1:25.000

N = Niesenhorn 1-4 = Profiltracen zu Tafel XXV A-C = Profiltracen zu Fig. 8

- | | | | |
|------------------------|--|----------------|-----------------------------|
| Ultrahelvetikum | | Quartär | |
| UH = Trias bis Eocen | | Al = Alluvion | gl. B = glacialer Bergsturz |
| Wildhorn-Decke | | Eb = Schutt | |
| | | S = Sackung | |
| | | Gl = Gletscher | |
| | | Mo = Moräne | |
| | | | |
| Bartonien | Globigerinenschiefer
Lithothamnienkalke | | |
| | Hohgangeschichten | | |
| Lutétien | Complanatenschichten | | |
| Maestrichtien | Wangschichten | | |
| Turonien | Seewerschichten | | |
| Cónomanien-
Albien | Fossilschicht,
Kalksandstein etc. | | |
| Aptien | Obere Schrattekalk | | |
| | Orbitolinenschichten | | |
| | Untere Schrattekalk | | |
| Bárrémien | Drusebergsschichten | | |
| | Allmannschichten | | |
| Hauterivien | Kieselkalk | | |
| Valanginien | Valanginienmergel | | |
| | Bruch beobachtet | | |
| | Bruch vermutet | | |
| | Unterverschiebung beobachtet | | |
| | Unterverschiebung vermutet | | |
| | Oberschiebung beobachtet | | |
| | Oberschiebung vermutet | | |



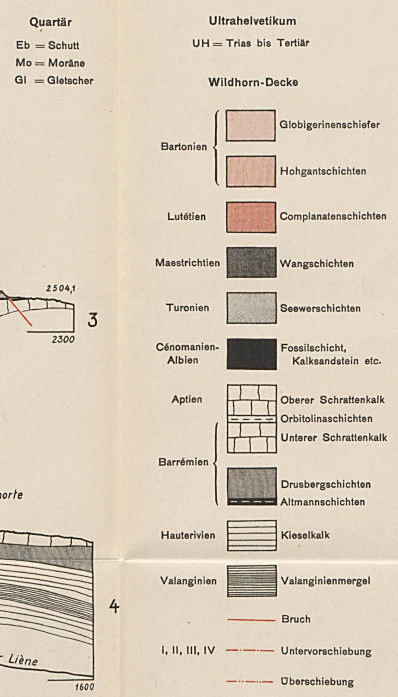
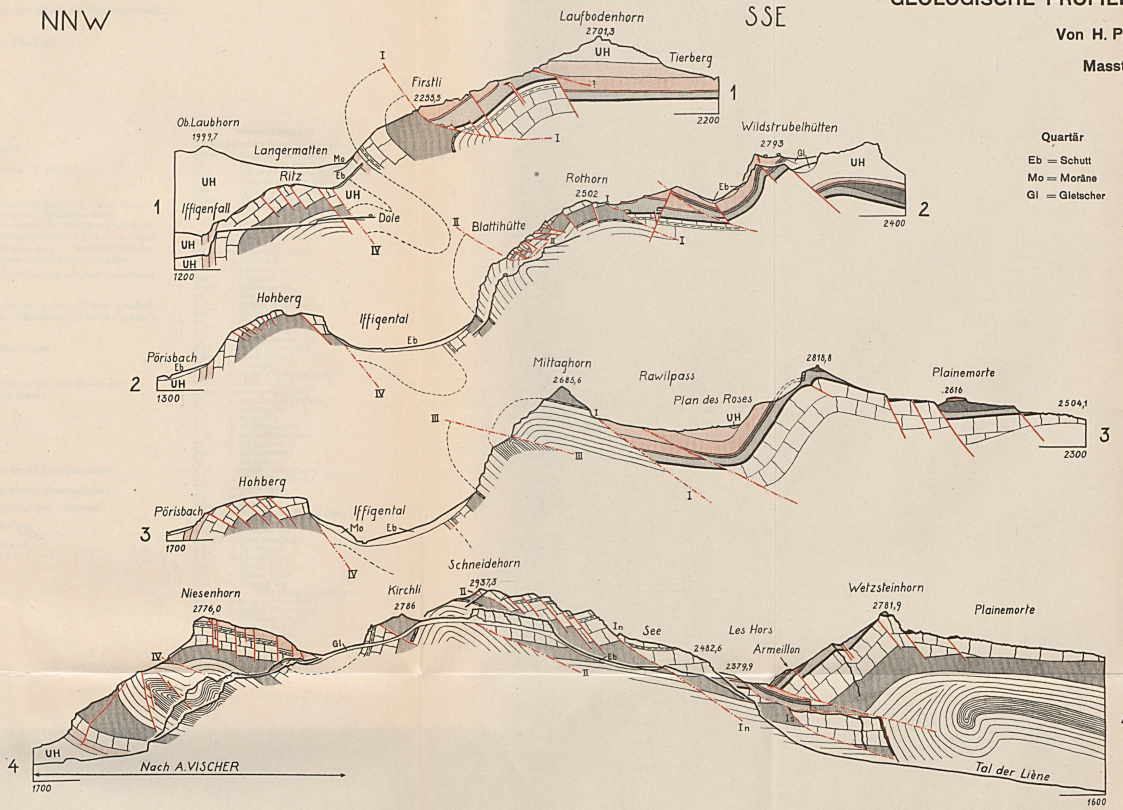
NNW

SSE

GEOLOGISCHE PROFILE DURCH DAS RAWILGEBIET

Von H. P. SCHAUB, 1936

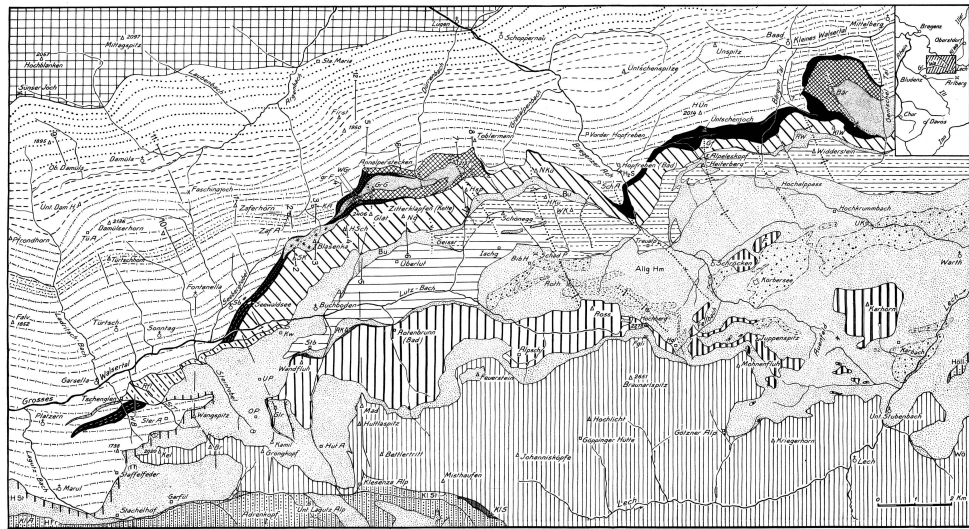
Masstab 1:25.000



TEKTONISCHE KARTENSKIZZE DER KALKALPEN
ZWISCHEN DEM OBEREN LECH UND DEN BEIDEN WALSERTALERN (Vorarlberg).

Entworfen nach den Aufnahmen von O. AMPFERER und Th. BENZINGER
nebst eigenen Ergänzungen durch MOR. M. BLUMENTHAL.

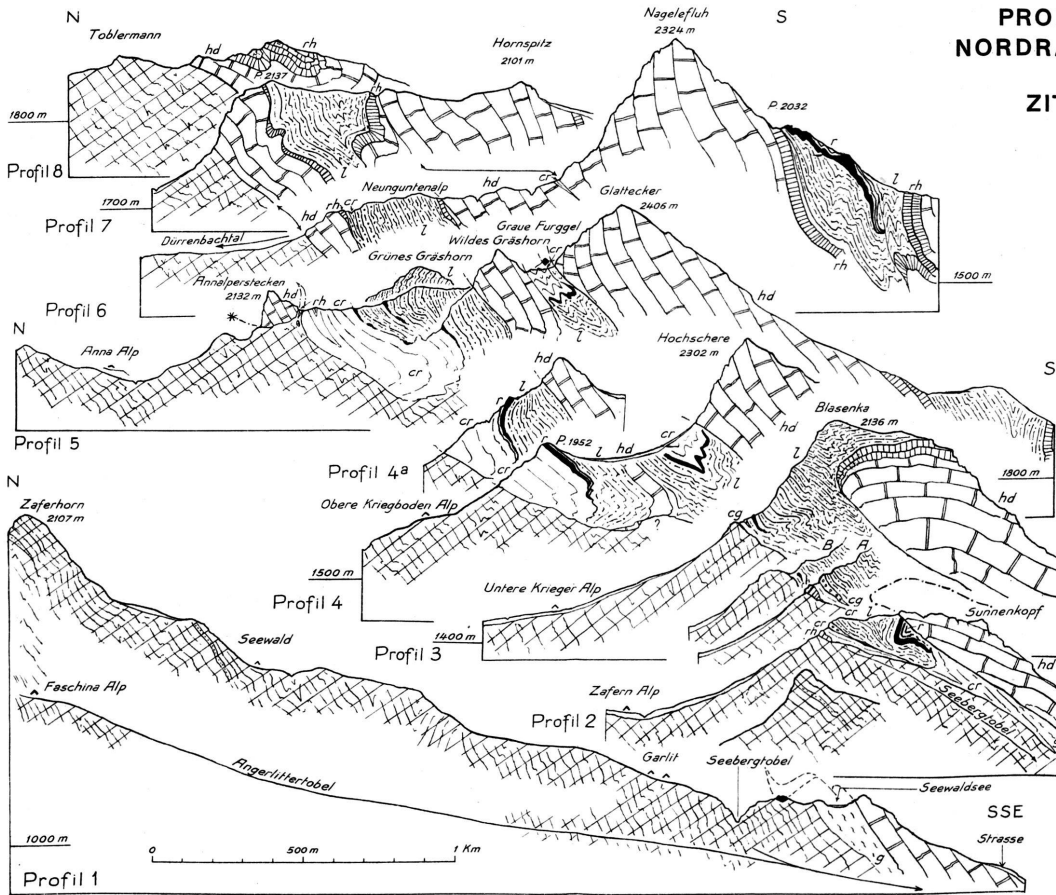
Maßstab 1:75.000.





<p> Helvetische Falten (Stüßende; incl. Wildflysch)</p> <p> Ultrahelvetische Flyschzone (Bündler inkl. Hauptflyschsandstein (entw. an d. Basis; Oberrheiner Mergel) Piesenskopfkalke)</p> <p> Hauptflyschkalke</p> <p> Serie des Torachhorn (Oste in Tronaxkern)</p> <p>Allgäu-Decke</p> <p> Muldenzone im allgemeinen (in Stufen jünger als Rha)</p> <p> Antiklinale Erhebungen in der Muldenzone</p> <p> Synklinale Einiefungen in der Muldenzone</p> <p> Verfallene Randzone und verschürfte Muldenfüllung (Pulver; Goules rouge)</p> <p> Seewaldsezone (ev. Gosaumergel)</p> <p> Randschuppe des Annapentechen-Grathorn und des Bärenkopf (zweierte: Muldenfüllung jünger als Rha) (samt: Hauptstüßende und -Platte)</p> <p> Zitterklappenschuppe (Stufen älter als Lias)</p> <p> Stimmhüllung der Blassack</p> <p> Teuchengenschuppe (Stufen älter als Lias)</p> <p> Walsertalschuppe (Stufen älter als Lias)</p> <p> Hoch Känzel-Schuppe (Stufen älter als Lias)</p>	<p>Lechtal-Decke</p> <p> Muldenzone im allgemeinen</p> <p> Wandflühschuppe (Untere Lechtal-Decke = Senozoe des Wälgäner Becken)</p> <p> Sedimente der Muldenzone als Schuppenköpfer (Fahler- u. Tronaxmergel)</p> <p> Juppenspitze-Kelle; Karnhorn-Kluppe; diverse Adgryschalkschichten</p> <p> Höllspitzschuppe (Aingauer Hauptmann)</p> <p> Lechtal-Decke s. infr. (Obere Lechtal-Decke; Braunarlspitz-Hofer Fressen)</p> <p> Klotterklappenschuppe</p> <p> Quarzschichten an der Basis der Lechtal-Decke</p> <p> Transversale Kullinationen</p> <p> Transversale Depressionen</p> <p> Quermulde des Glattnar</p> <p> Verwurfung</p> <p> Profiltrace</p>	<p>Abkürzungen:</p> <p>Geologische Bezeichnungen:</p> <p>Alp Hm — Allgäu Hauptmann Alj — Allgäu Juppenspitze Hm — Hauptmann HD — Hauptmann HDI — Hauptmann (Sand) (Schuppe) HDII — Hauptmann (Sand) (Schuppe) HDIII — Hauptmann (Sand) (Schuppe) HDIV — Hauptmann (Sand) (Schuppe) HDV — Hauptmann (Sand) (Schuppe) HDVI — Hauptmann (Sand) (Schuppe) HDVII — Hauptmann (Sand) (Schuppe) HDVIII — Hauptmann (Sand) (Schuppe) HDIX — Hauptmann (Sand) (Schuppe) HDX — Hauptmann (Sand) (Schuppe) HDXI — Hauptmann (Sand) (Schuppe) HDXII — Hauptmann (Sand) (Schuppe) HDXIII — Hauptmann (Sand) (Schuppe) HDXIV — Hauptmann (Sand) (Schuppe) HDXV — Hauptmann (Sand) (Schuppe) HDXVI — Hauptmann (Sand) (Schuppe) HDXVII — Hauptmann (Sand) (Schuppe) HDXVIII — Hauptmann (Sand) (Schuppe) HDXIX — Hauptmann (Sand) (Schuppe) HDXX — Hauptmann (Sand) (Schuppe)</p> <p>Orts- und Bergnamen:</p> <p>Alp — Allgäu Alj — Allgäu Juppenspitze Hm — Hauptmann HD — Hauptmann HDI — Hauptmann (Sand) (Schuppe) HDII — Hauptmann (Sand) (Schuppe) HDIII — Hauptmann (Sand) (Schuppe) HDIV — Hauptmann (Sand) (Schuppe) HDV — Hauptmann (Sand) (Schuppe) HDVI — Hauptmann (Sand) (Schuppe) HDVII — Hauptmann (Sand) (Schuppe) HDVIII — Hauptmann (Sand) (Schuppe) HDIX — Hauptmann (Sand) (Schuppe) HDX — Hauptmann (Sand) (Schuppe) HDXI — Hauptmann (Sand) (Schuppe) HDXII — Hauptmann (Sand) (Schuppe) HDXIII — Hauptmann (Sand) (Schuppe) HDXIV — Hauptmann (Sand) (Schuppe) HDXV — Hauptmann (Sand) (Schuppe) HDXVI — Hauptmann (Sand) (Schuppe) HDXVII — Hauptmann (Sand) (Schuppe) HDXVIII — Hauptmann (Sand) (Schuppe) HDXIX — Hauptmann (Sand) (Schuppe) HDXX — Hauptmann (Sand) (Schuppe)</p>
---	---	---

**PROFILSERIE DURCH DEN
NORDRAND DER ALLGÄU-DECKE
IN DER
ZITTERKLAPPEN-KETTE**

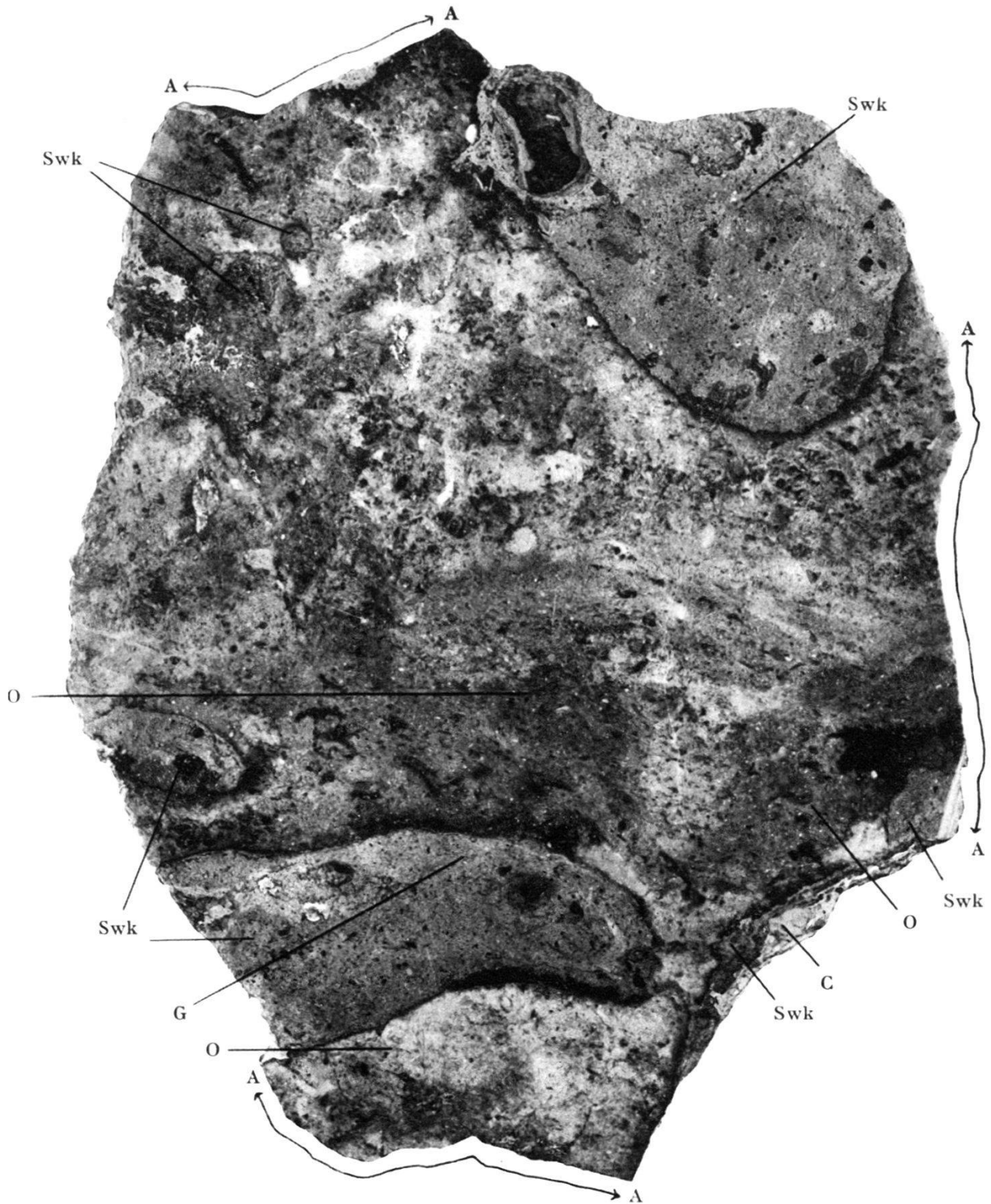
VON
MOR. M. BLUMENTHAL.



Legende

-  Ultrahelvetic Flysch (Oberstdorfer Decke)
- cr* Oberkreide (Couches rouges & Wildflysch)
- cg* Polygenes Konglomerat
- g* Mergelzone von Seewaldsee (Gosaumergel ?)
-  Apfychenkalk (Tithon in Flexenpassfazies)
- r* Radiolarit
- l* Allgäuschichten (varw Lies)
- rh* Rhät
- hd* Hauptdolomit

Prof. 9, 10, 11 in Textfigur 3
Prof. 12 in Textfigur 1



Querschnitt eines Maestrichtienblockes aus dem Agglomerat vom Franzosenweg bei Alfermée.

0,5 ×.

O = Orbitoiden
Swk = Süßwasserkalk
G = Gastropode

C = Bruchstücke von Cénomanienkalk in der
Süßwasserkalkkruste
A ↔ A = frische Bruchränder

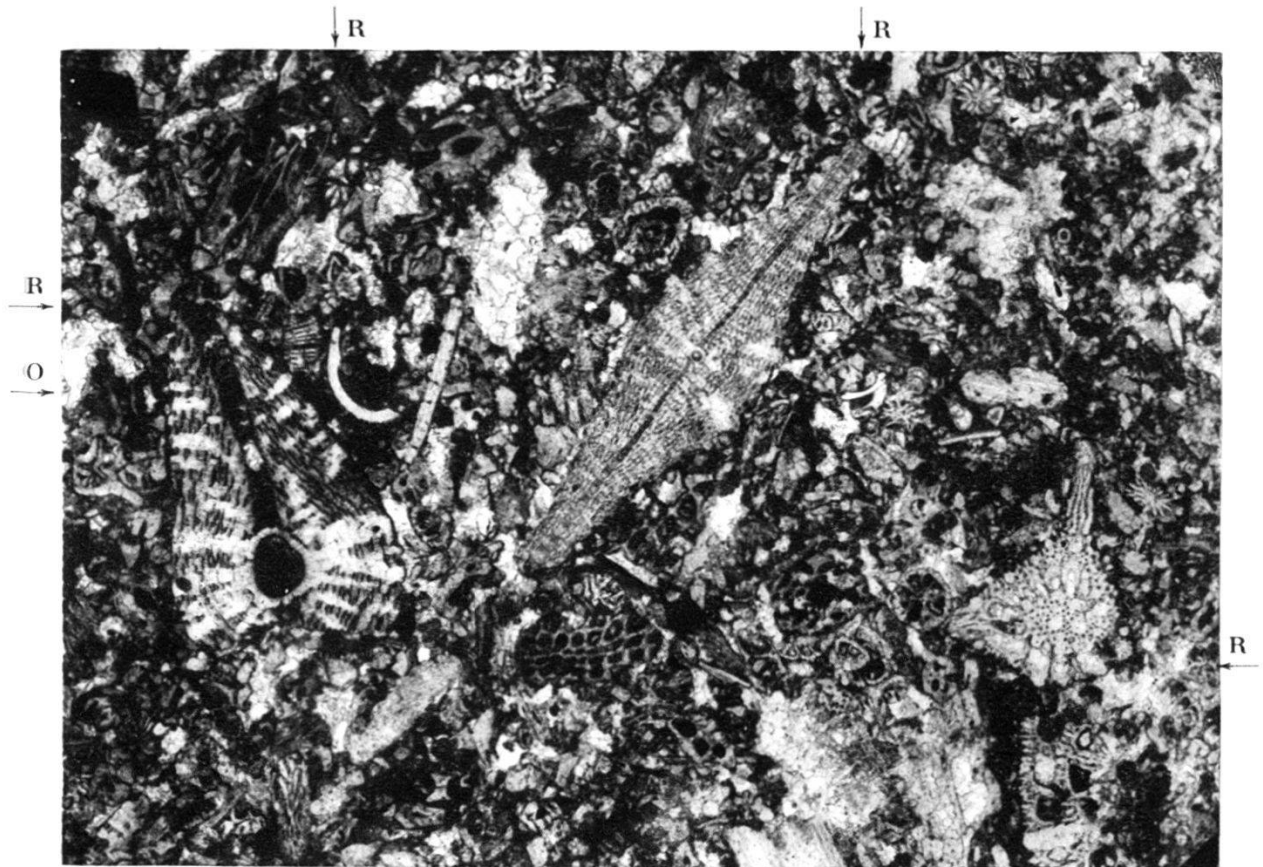


Fig. 1. *Orbitoides* cf. *media* (D'ARCH.) (links), *Lepidorbitoides socialis* (LEYM.) (Mitte), *Siderolites calcitrapoides* LAM. (rechts), *Rotalia* ? sp. (R), Ostracoden (O), Bryozoen. 15 ×.

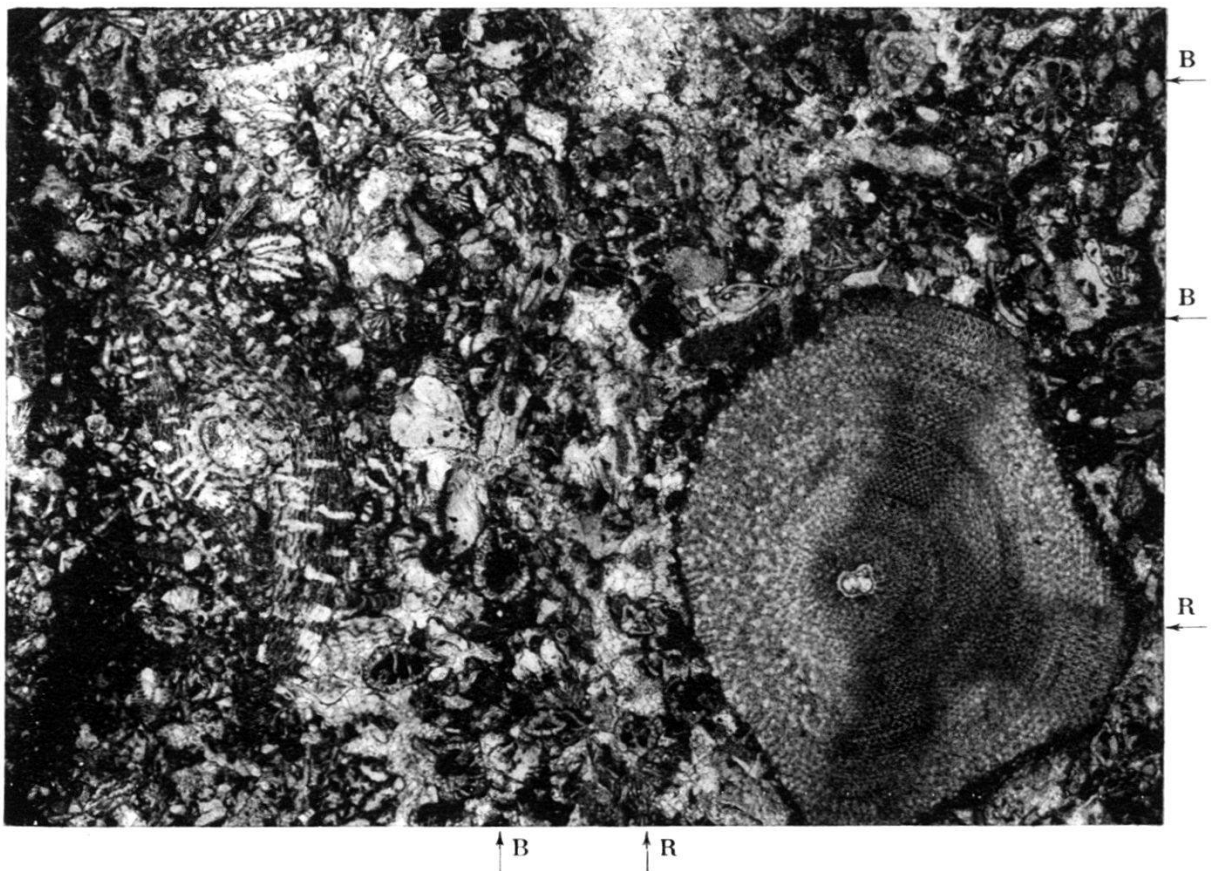


Fig. 2. *Orbitoides* sp. (links), *Siderolites calcitrapoides* LAM. (links oben), *Lepidorbitoides socialis* (LEYM.) (rechts), *Rotalia* ? sp. (R), Bryozoen (B). 12 ×.

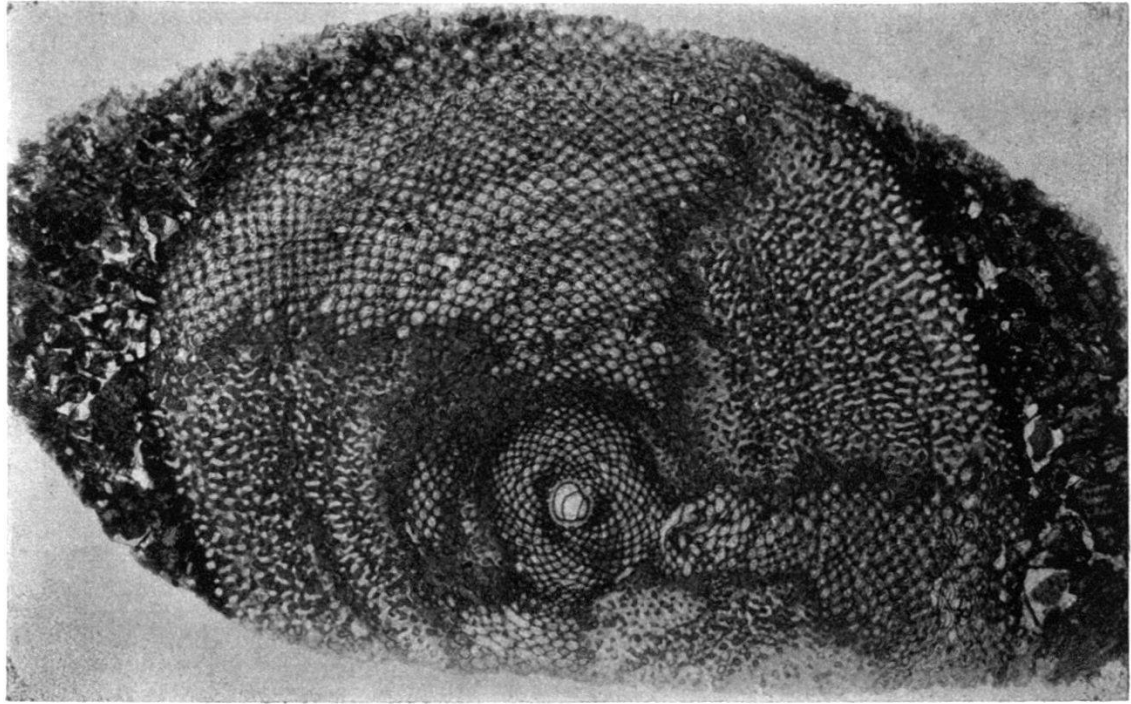
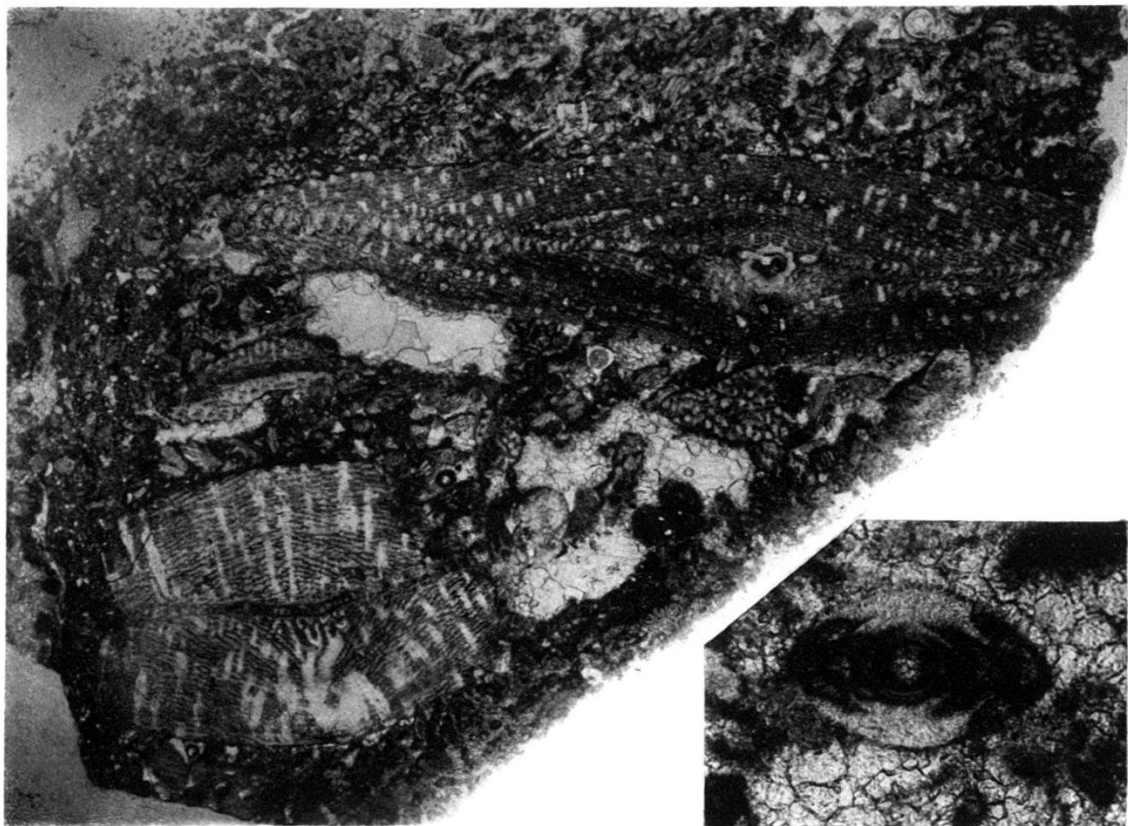


Fig. 1. *Orbitoides apiculata* SCHLUMB. (horizontal). 8 ×.



2

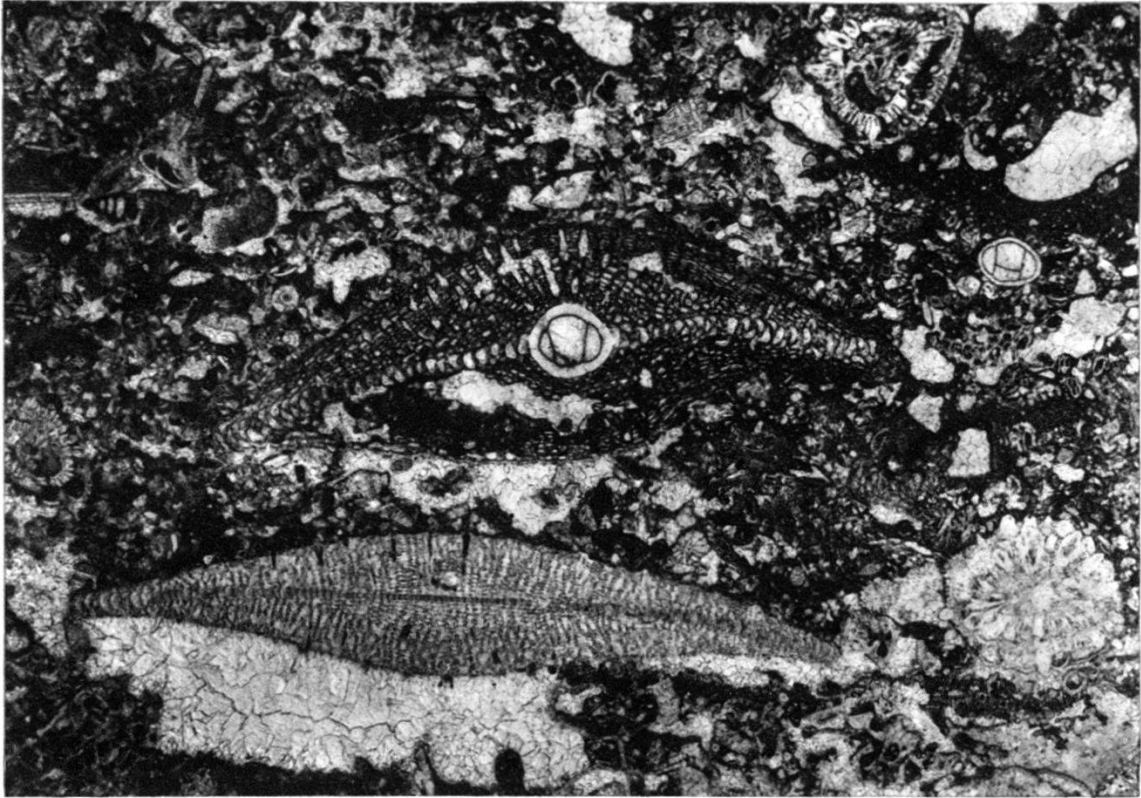
3

Fig. 2. *Orbitoides apiculata* SCHLUMB. (vertikal). Oben A-, unten B-Form (Fragment). 8 ×.

Fig. 3. ? *Meandropsina* n. sp. 60 ×.

O. RENZ phot.

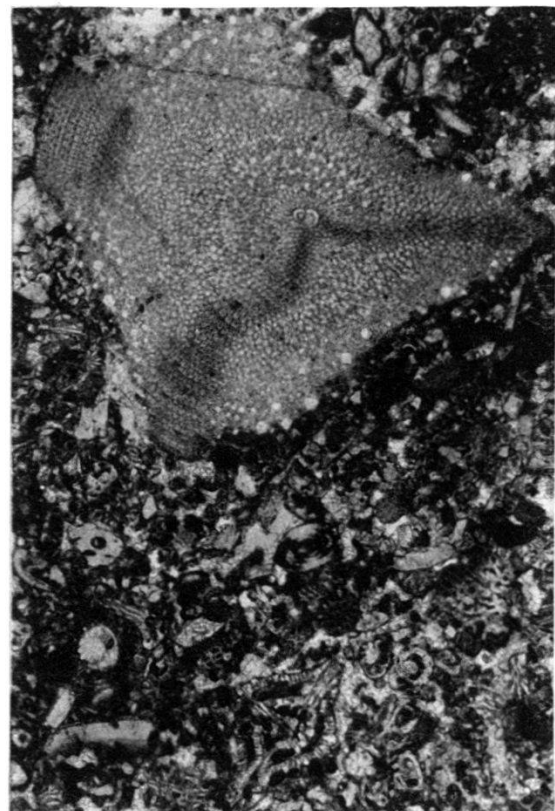
Reprod. BIRKHÄUSER, Basel.



1



2

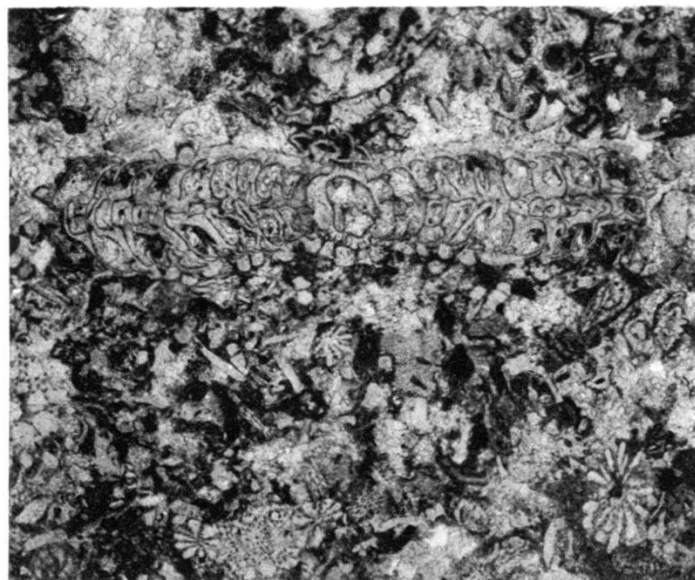


3

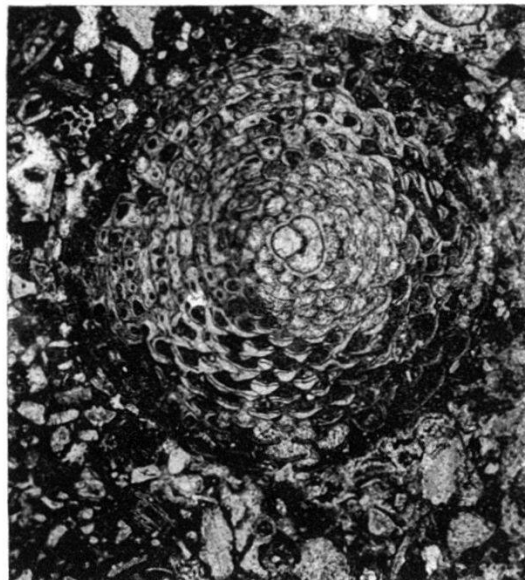
Fig. 1. *Orbitoides media* (D'ARCH.) (Mitte), Embryonalapparat von *O. media* (oben rechts), *Lepidorbitoides socialis* (LEYM.) (unten), *Siderolites calcitrapoides* LAM. (oben und unten rechts). 12 ×.

Fig. 2. *Simplorbites gensacicus* (LEYM.). 15 ×.

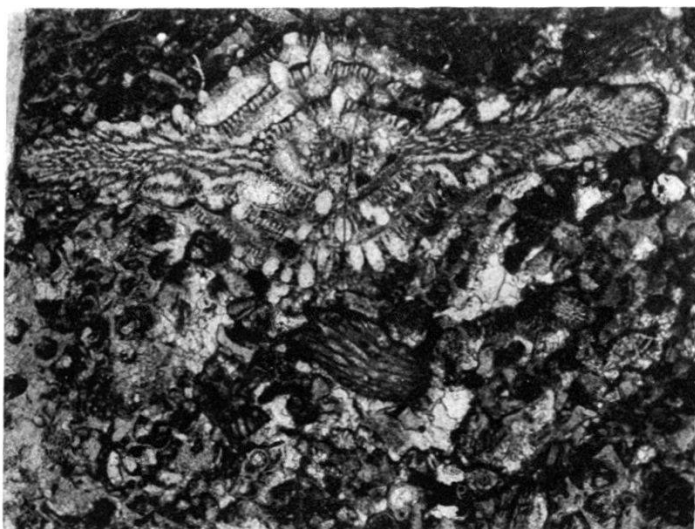
Fig. 3. *Lepidorbitoides socialis* (LEYM.) (oben), ? *Meandropsina* n. sp. (Mitte), *Siderolites* (unten). 10 ×.



1



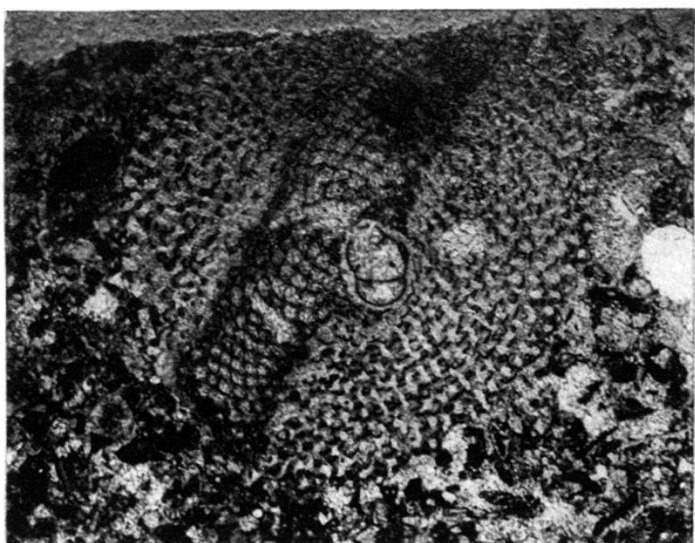
2



3



4



5



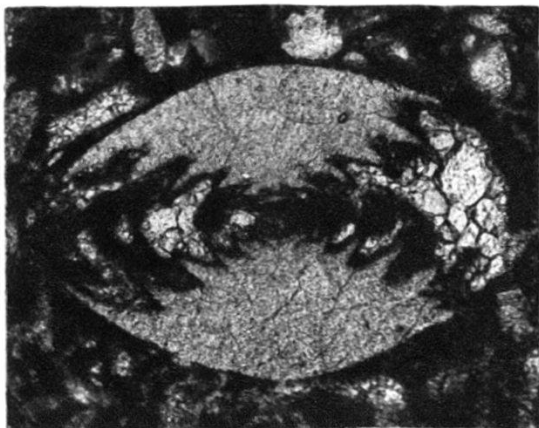
6

Fig. 1. *Omphalocyclus macropora* LAM. (vertikal). 15 ×.

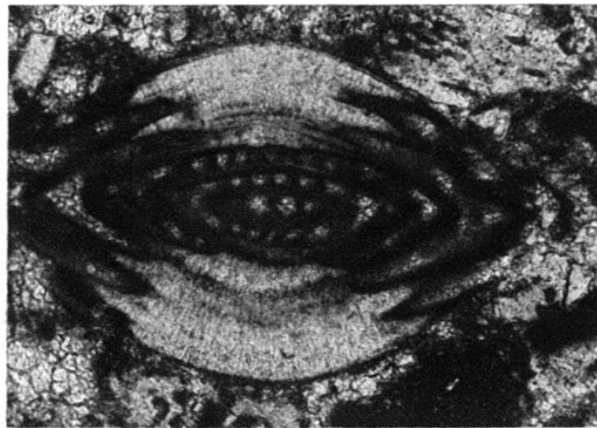
Fig. 2. *Omphalocyclus macropora* LAM. (horizontal), *Rotalia*? sp. (unten links). 15 ×.

Fig. 3 & 4. *Siderolites calcitrapoides* LAM. 15 ×.

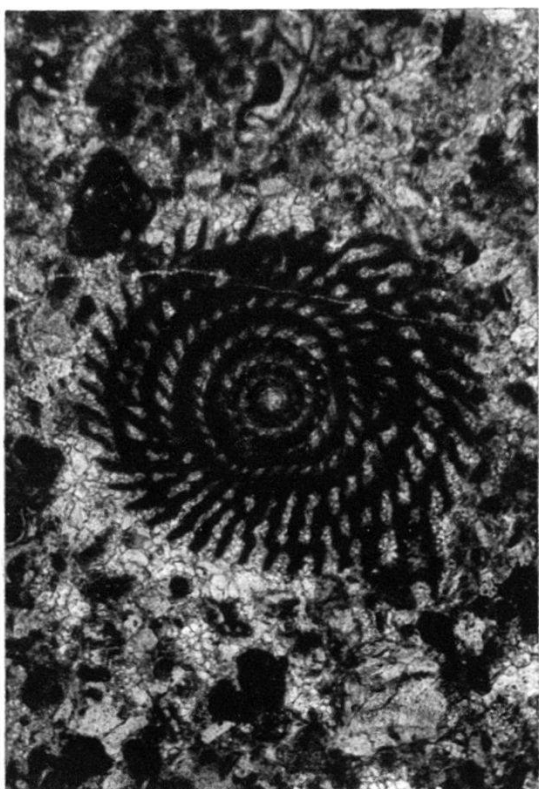
Fig. 5 & 6. *Orbitoides media* (D'ARCH.). 15 ×.



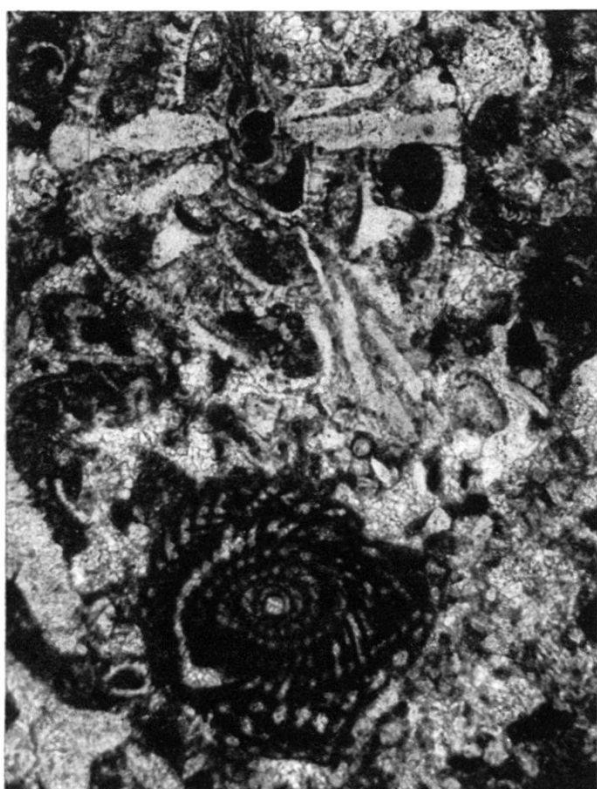
1



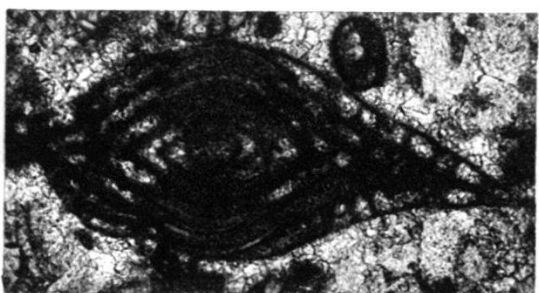
2



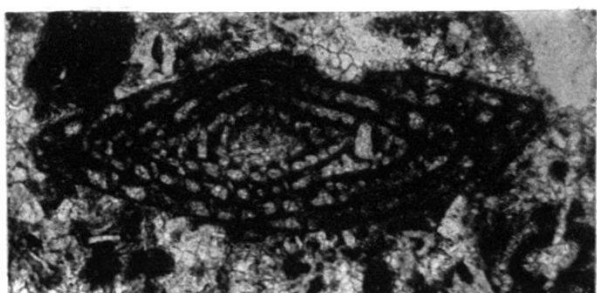
3



4



5



6

Fig. 1 & 2. ? *Meandropsina* n. sp. aff. *Nonionina cretacea* SCHLUMB. 60 ×.

Fig. 3, 5, 6. *Meandropsina vidali* SCHLUMB. 35 ×.

Fig. 4. *Siderolites calcitrapoides* LAM., *Meandropsina vidali* SCHLUMB. 35 ×.

O. RENZ phot.

Reprod. BIRKHÄUSER, Basel.

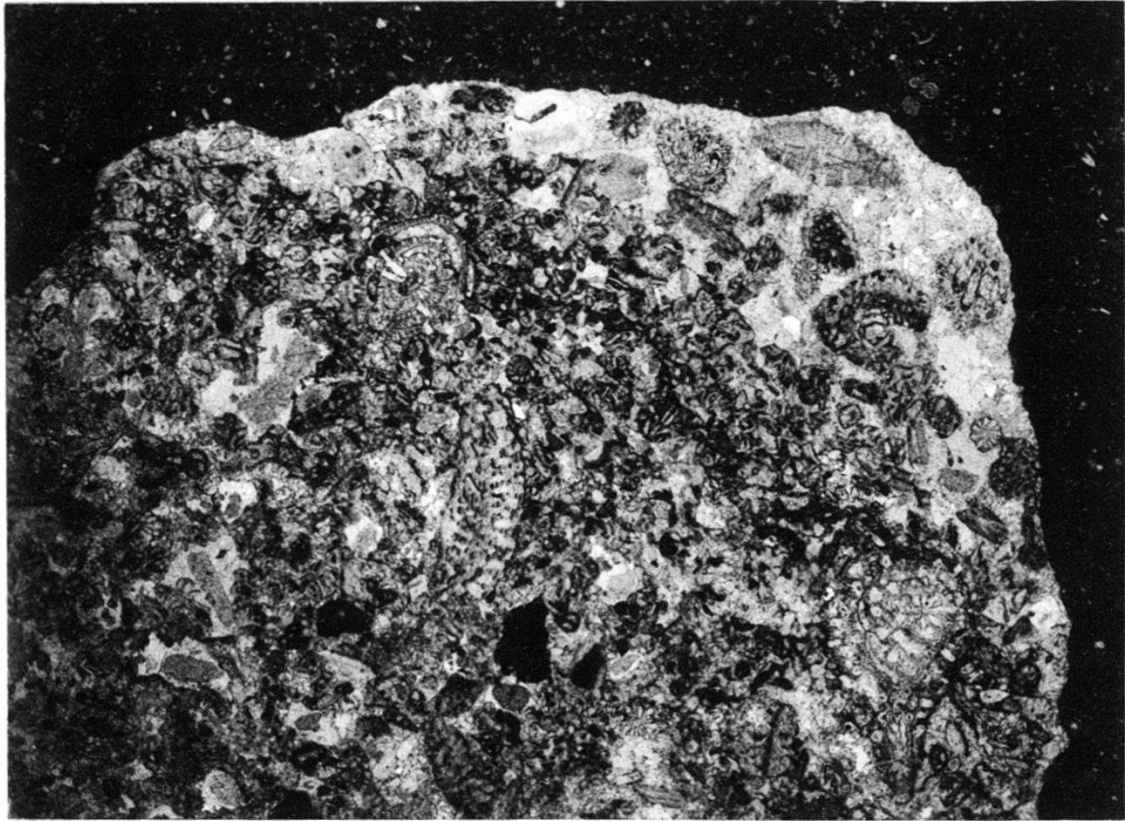
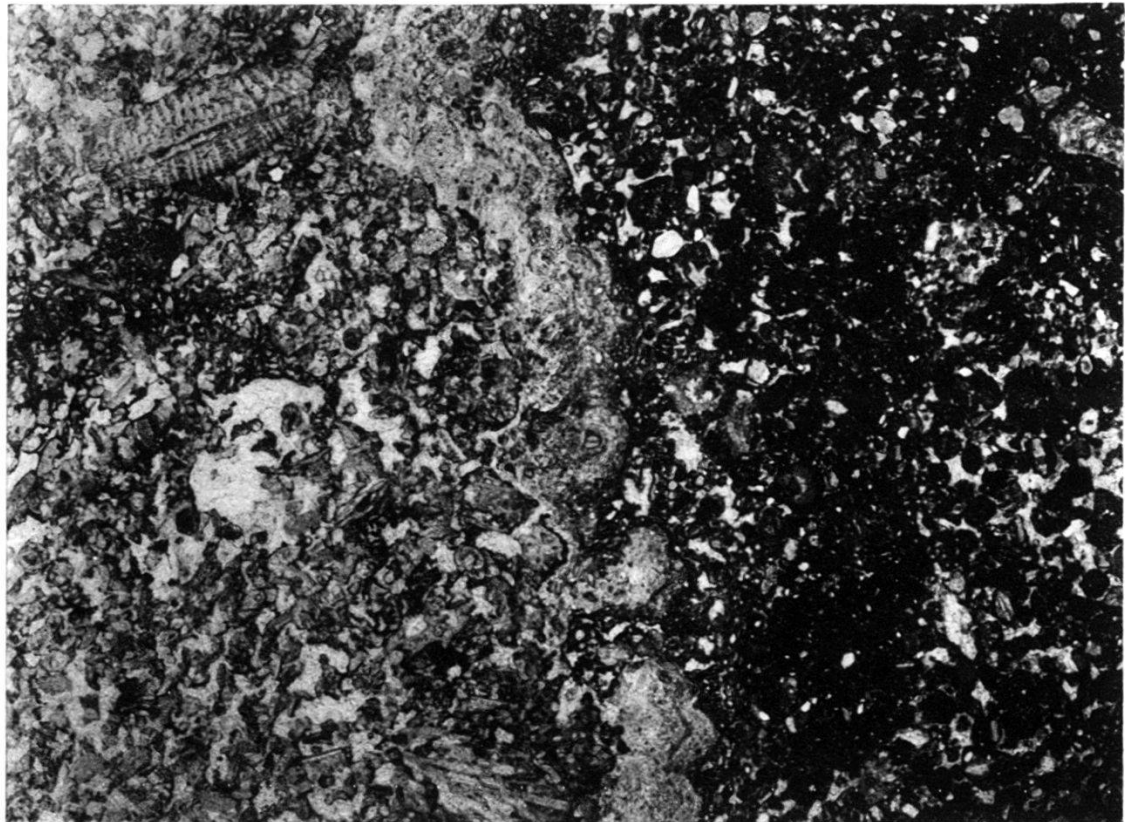


Fig. 1. Querschnitt durch die Ausfüllung eines Pholadenloches im Cenomankalk. 8 x.

↓ VK



↑ VK

Fig. 2. Grenze zwischen Maestrichtien (links) und Süßwasserkalk (rechts).
Versinterungskruste (VK). 8 x.



W. JECKER (Basel) phot.

Reprod. BIRKHÄUSER, Basel.

Sandsteinplatte aus dem Vindobonien des Rebhubel bei Biel (Kt. Bern),
mit eingeregeltten Mollusken (*Potamides baumbergeri* DOLLFUS).

Reduktion ca. $\frac{1}{2}$.



A. JEANNET phot.

Reprod. BIRKHÄUSER, Basel.

Diplocidarid mauritanicus nov. sp. Gr. 0,97.

Fig. 1. Vu en dessus. — Fig. 2. Vu de profil. — Fig. 3. Vu en dessous.